

Muséum National d'Histoire Naturelle
Département Histoire de la Terre
USM 0203 – UMR 8569 CNRS
Paléontologie



THÈSE

pour obtenir le grade de

DOCTEUR DU MUSÉUM NATIONAL D'HISTOIRE NATURELLE

Discipline : Paléontologie

par Sophie HERVET

**Le groupe « *Palaeochelys sensu lato – Mauremys* » dans le contexte
systématique des Testudinoidea aquatiques du Tertiaire d'Europe
occidentale. Apports à la biostratigraphie et à la paléobiogéographie.**

Tome 2 : Planches et Annexes

Soutenue le 1^{er} Juillet 2003

Directeur de Thèse :
Mme France de Lapparent de Broin

JURY

Mme Monique Vianey-Liaud
M. Zbynek Rocek
M. Philippe Taquet
M. Roger Bour
Mme France de Lapparent de Broin

Rapporteur
Rapporteur
Examineur
Examineur
Examineur

PLANCHES

Planche 1

***Mauremys leprosa* (Schweigger, 1812) , MNHN 1885-418.**

Fig. A : dossière, face dorsale (détail des écailles).

Fig. B : dossière, face ventrale.

Abréviations : voir texte.

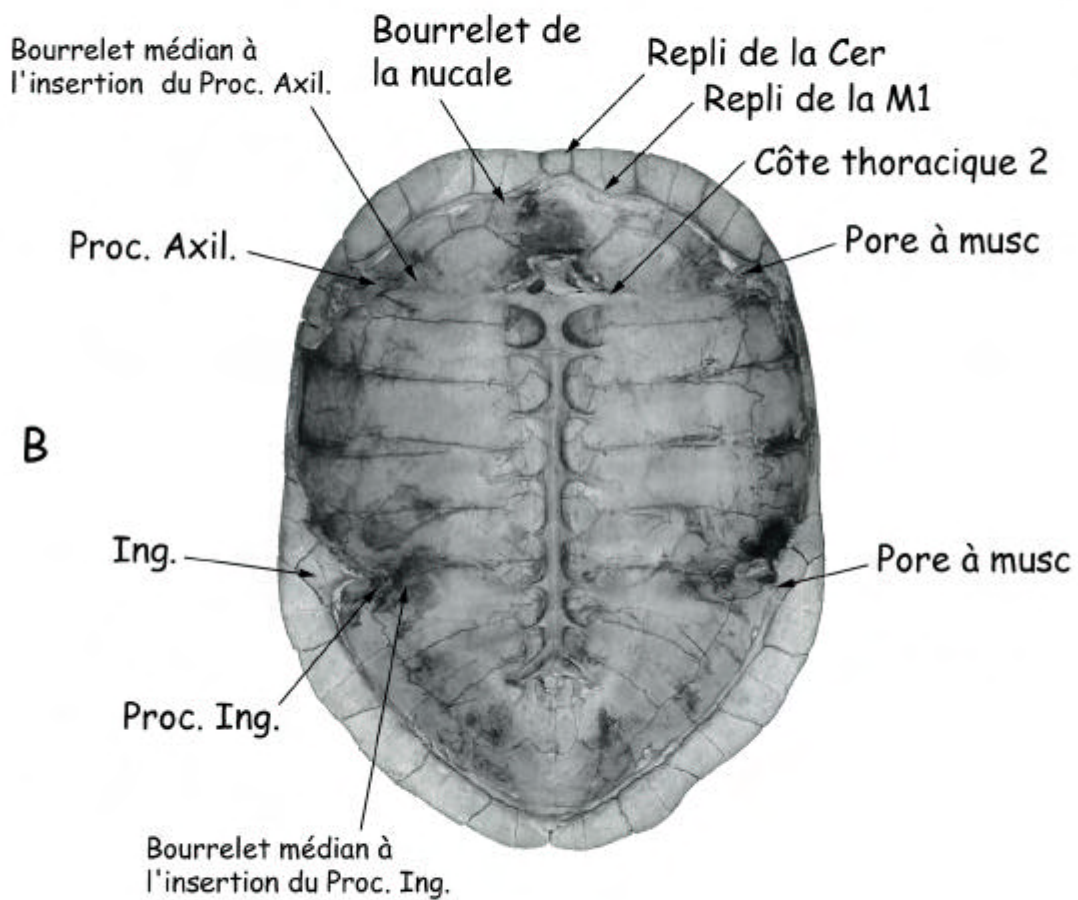
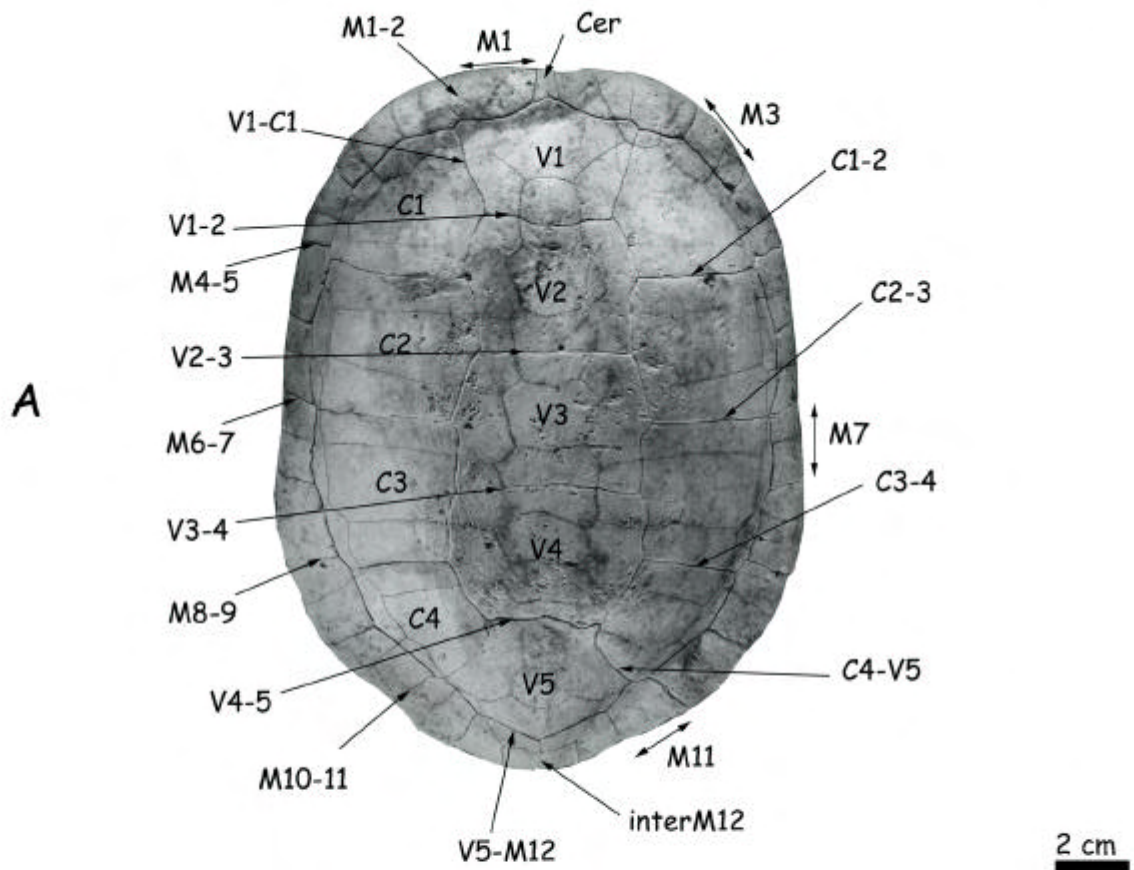


Planche 2

***Mauremys leprosa* (Schweigger, 1812) , MNHN 1885-418.**

Fig. A : plastron, face dorsale.

Fig. B : dossière, face dorsale (détail des plaques).

Fig. C : carapace, face ventrale.

Abréviations : voir texte.

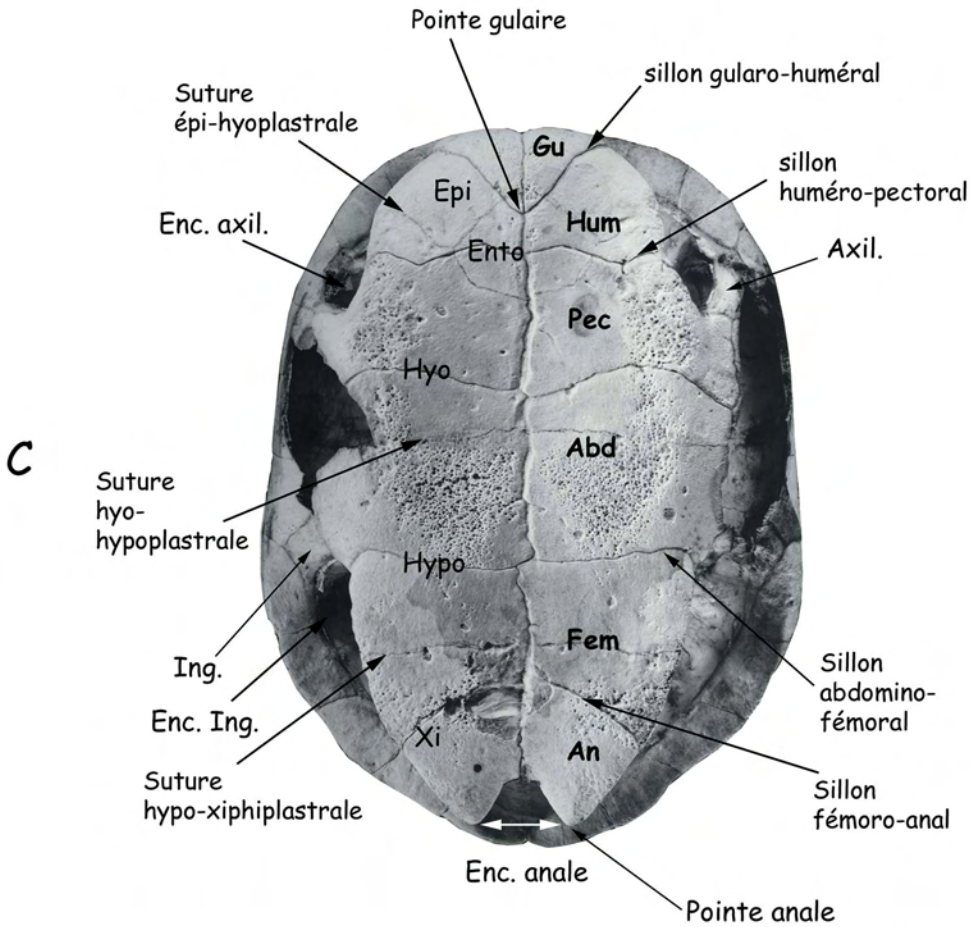
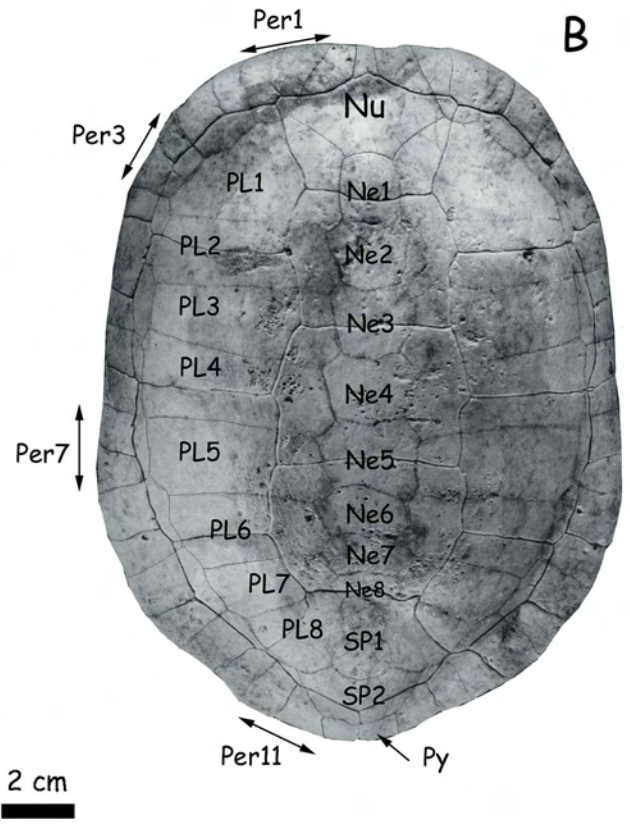
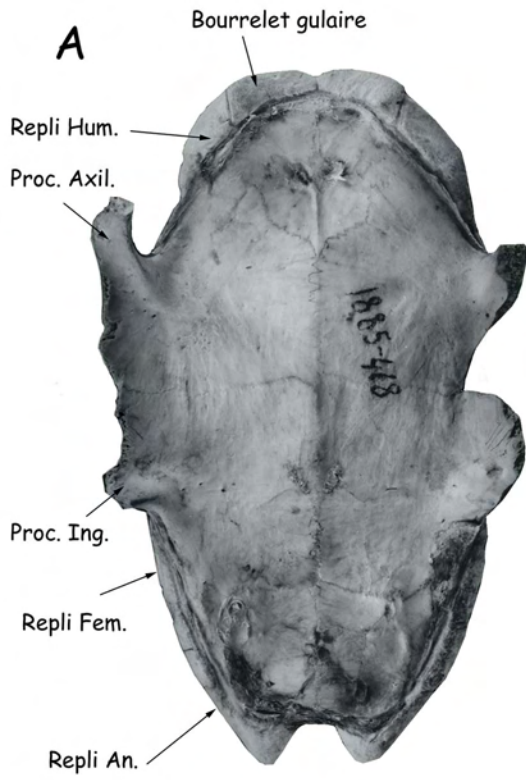


Planche 3

Elkemys australis (Yeh, 1974); Matériel-type de Yeh (1974); Paléocène, Chine
(photographies : H. Tong-Bufferaut).

Fig. A : V 3107.1, carapace, face ventrale.

Fig. B : V 3107.1, carapace, face dorsale.

Fig. C : V 3107.7, plastron, face ventrale.

Fig. D : V 3107.7, plastron, face dorsale.

Mauremys mutica (Cantor, 1842) ; figure 245 de Gaffney (1979).

Fig. E : crâne, face dorsale.

Fig. F : crâne, face ventrale.

Fig. G : crâne, face latérale gauche.

Abréviations :

bo : basioccipital

bs : basisphénoïde

ex : exoccipital

fr : frontal

ju : jugal

mx : maxillaire

op : opisthotique

pa : pariétal

pal : palatin

pf : préfrontal

pm : prémaxillaire

po : postorbitaire

pr : prootique

pt : ptérygoïde

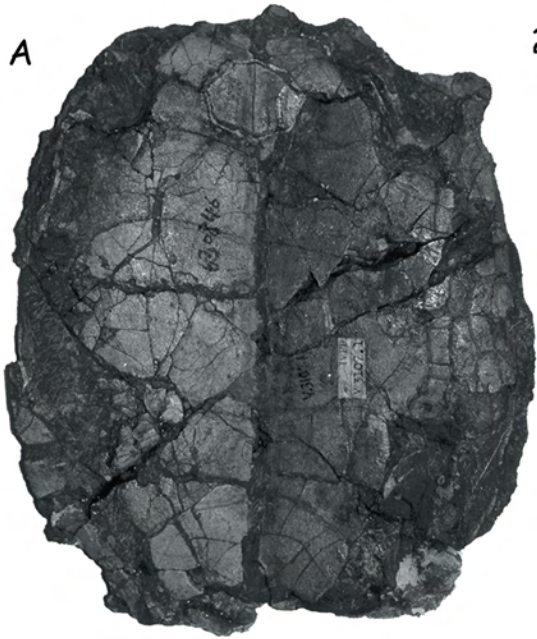
qj : quadratojugal

qu : carré

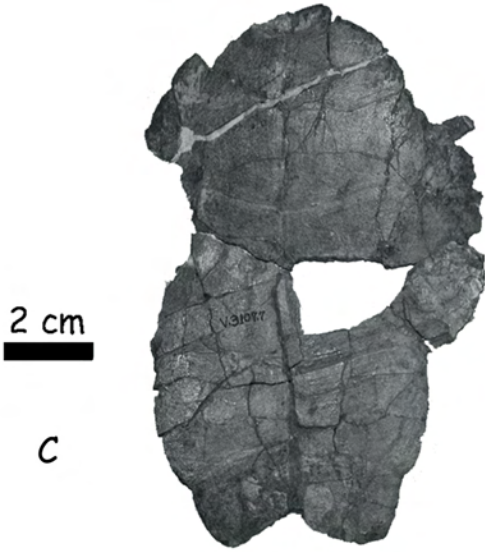
so : supraoccipital

sq : squamosal

vo : vomer



2 cm



2 cm



2 cm

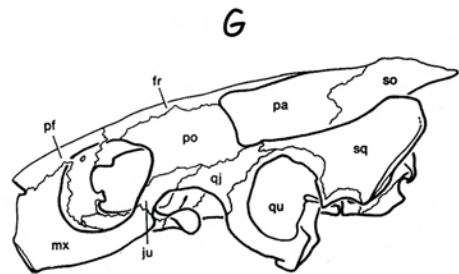
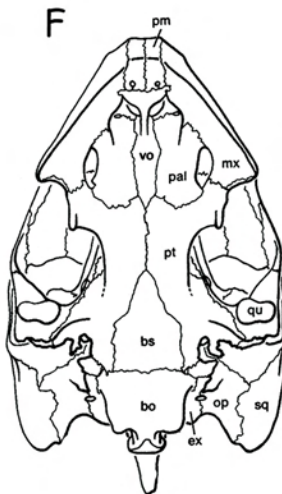
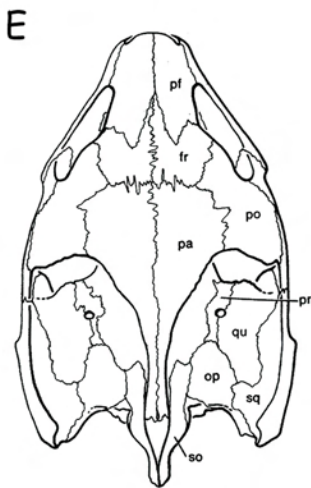


Planche 4

***Elkmys australis* (Yeh, 1974); Matériel-type de Yeh (1974); Paléocène, Chine (photographies : H. Tong-Bufferaut).**

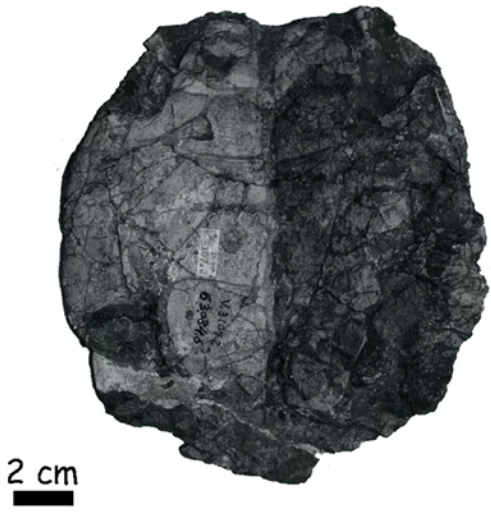
Fig. A : V 3107.2, carapace, face ventrale.

Fig. B : V 3107.2, carapace, face dorsale.

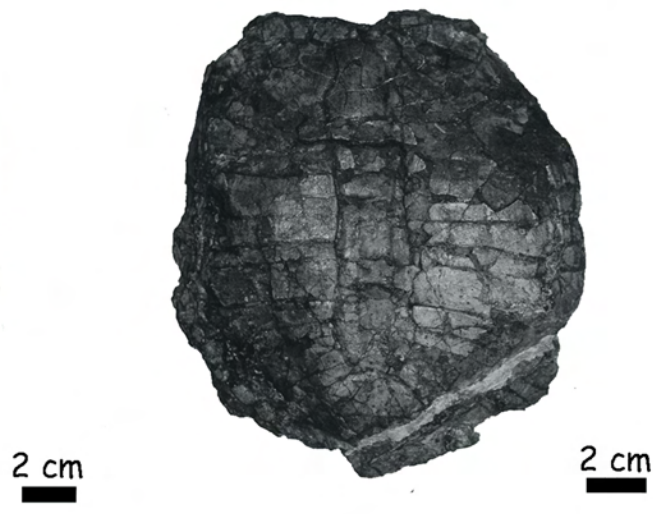
Fig. C : V 3107.3, carapace, face ventrale.

Fig. D : V 3107.6, carapace, face ventrale.

Fig. E : V 3107.6, carapace, face dorsale.



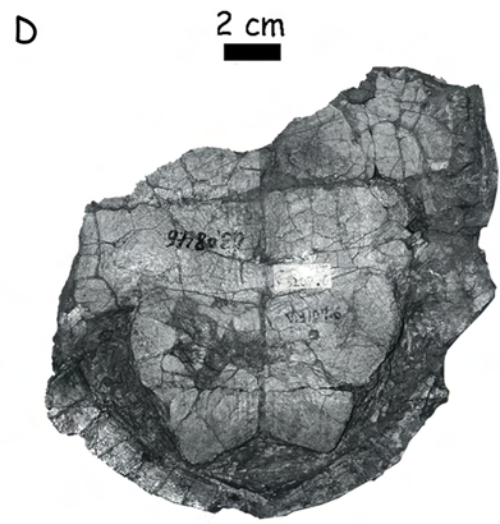
A



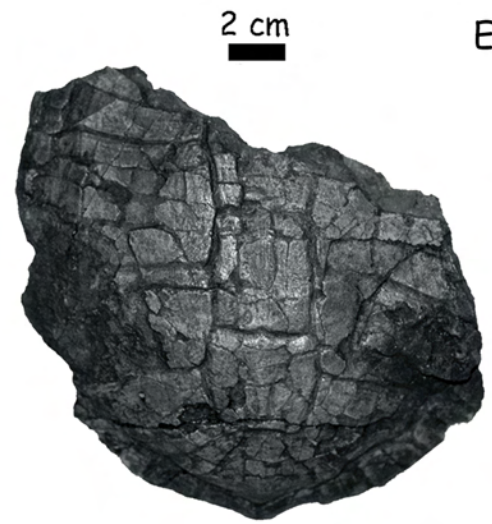
B



C



D



E

Planche 5

Platysternon megacephalum (Gray, 1831) MNHN 1998-4910.

Fig. A : dossière, face dorsale.

Fig. B : plastron, face ventrale.

Fig. C : dossière, face dorsale.

Fig. D : dossière, face ventrale.

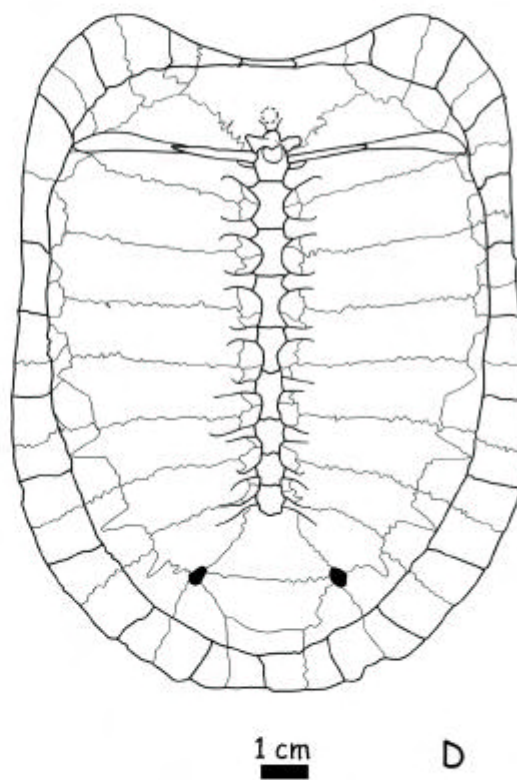
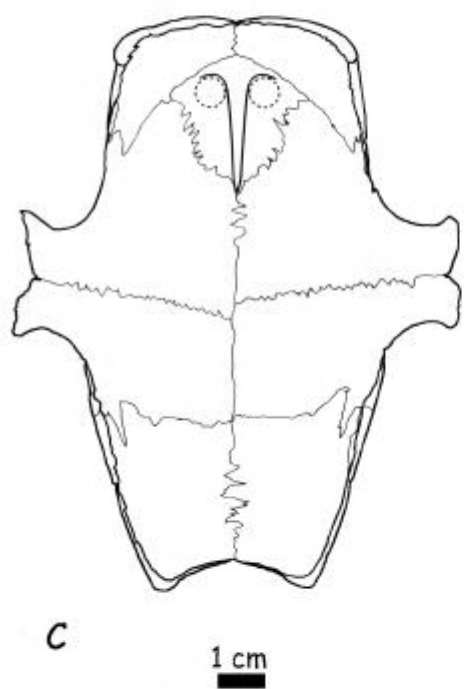
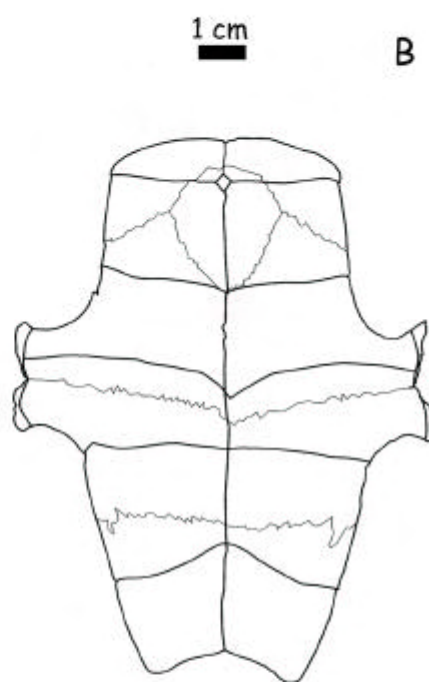
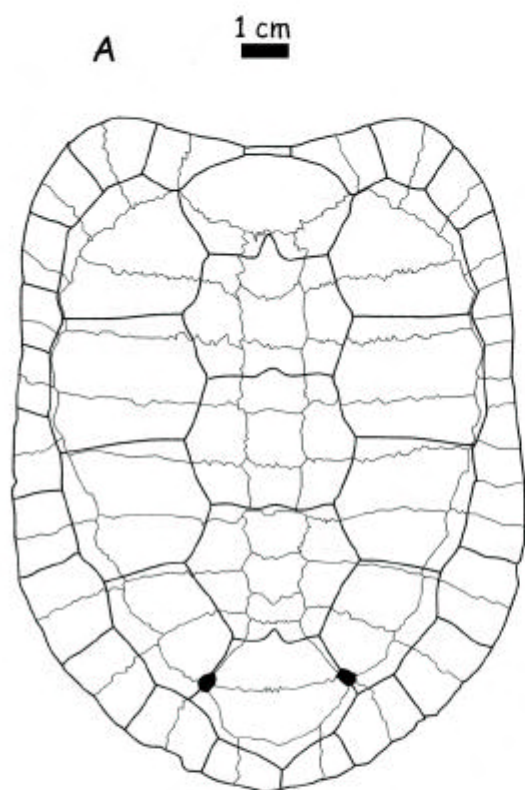


Planche 6

***Hummelemys ambigua* n. g. n. sp. ; Paratype, GM-MLU 10537 (NwVI) ; Formation du Geiseltal (Halle, Saale, Allemagne). Lutétien, formation Obere Mittelkohle, MP 13.**

Fig. A : dossière, face ventrale.

Fig. B et C : dossière, face dorsale.

***Hummelemys ambigua* n. g. n. sp. ; Holotype, GM-MLU XXXV-221-1963 ; Formation du Geiseltal (Halle, Saale, Allemagne). Lutétien, formation Untere Mittelkohle, MP 12.**

Fig. D : plastron, face ventrale.

Fig. E : plastron, face dorsale.

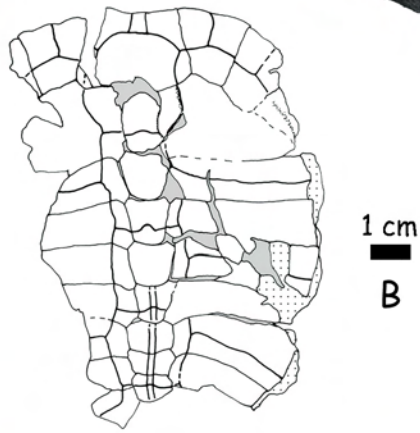


Planche 7

***Hummelemys ambigua* n. g. n. sp. ; Paratype, GM-MLU XXXVI-45-1962 ; Formation du Geiseltal (Halle, Saale, Allemagne). Lutétien, formation Obere Mittelkohle, MP 13.**

Fig. A et B : carapace, face dorsale.

Fig. C et D : carapace, face ventrale.

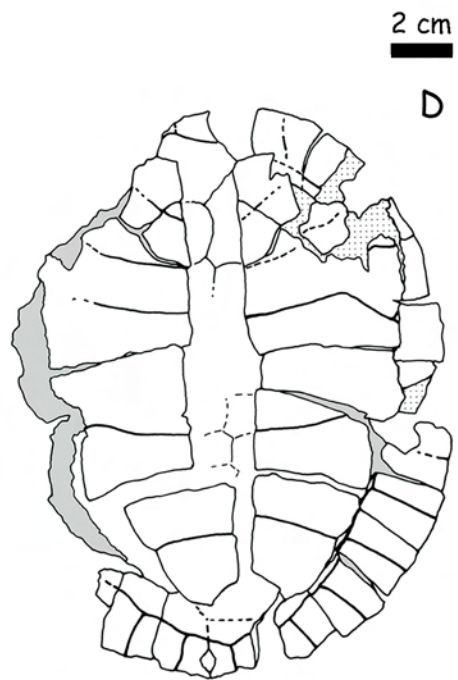
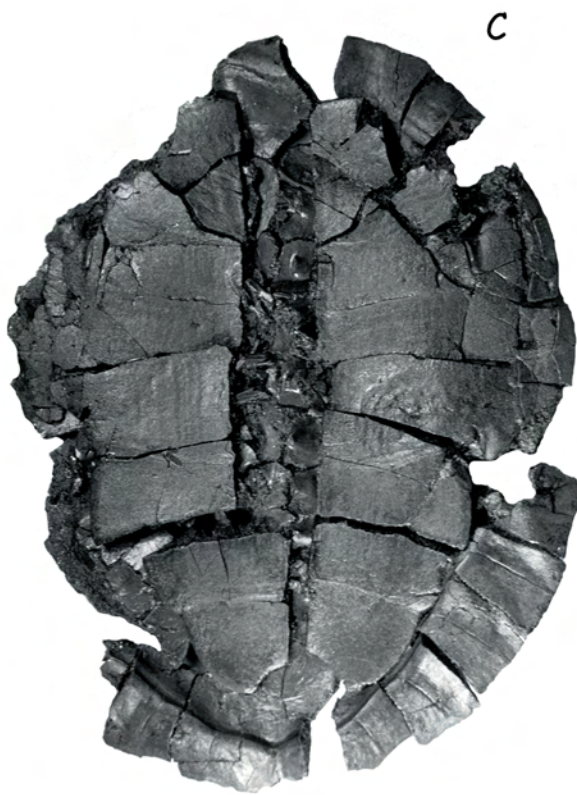
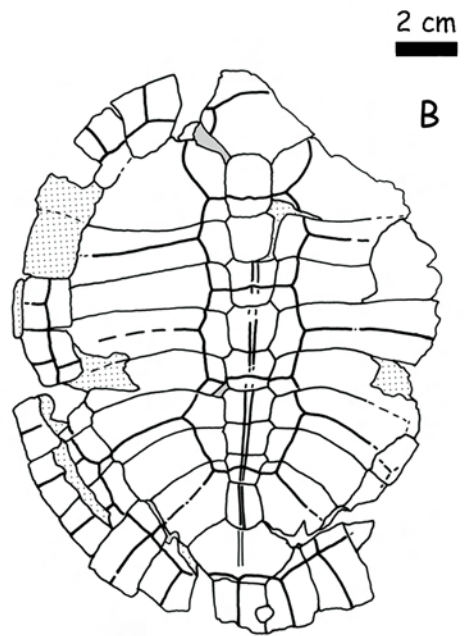
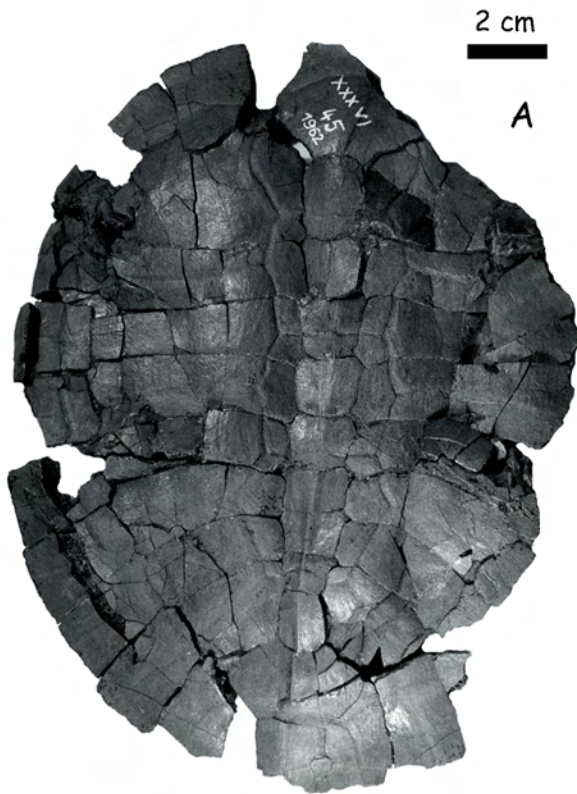


Planche 8

Merovemys ploegi n. g. n. sp. ; coll. MNHN ; Le Quesnoy (Creil, Oise) ; Yprésien.

Ici tous les spécimens sont à la même échelle, le numéro 1 suivant la lettre de la figure désigne la face dorsale, le numéro 2 désigne la face ventrale).

Epiplastrons gauches

- Fig. A : QNY-706.
- Fig. B : QNY-684.
- Fig. C : QNY-709.
- Fig. D : QNY-707.
- Fig. E : QNY-710.
- Fig. F : QNY1-703.
- Fig. G : QNY-708.
- Fig. H : QNY-705.
- Fig. I : QNY-711.
- Fig. J : QNY-681 (Holotype)
- Fig. K : QNY1-704.
- Fig. L : QNY-712.
- Fig. M : QNY1-679.
- Fig. N : QNY-680.
- Fig. O : QNY-683.
- Fig. P : QNY-682.
- Fig. Q : QNY-636.

Epiplastrons droits

- Fig. R : QNY1-687.
- Fig. S : QNY-877.
- Fig. T : QNY1-686.
- Fig. U : QNY1-685.
- Fig. V : QNY-692.
- Fig. W : QNY-694.
- Fig. X : QNY-690.
- Fig. Y : QNY1-688.
- Fig. Z : QNY-693.
- Fig. AA : QNY-697.
- Fig. BB : QNY-691.
- Fig. CC : QNY-689.
- Fig. DD : QNY-696.
- Fig. EE : QNY-695.
- Fig. FF : QNY-637.

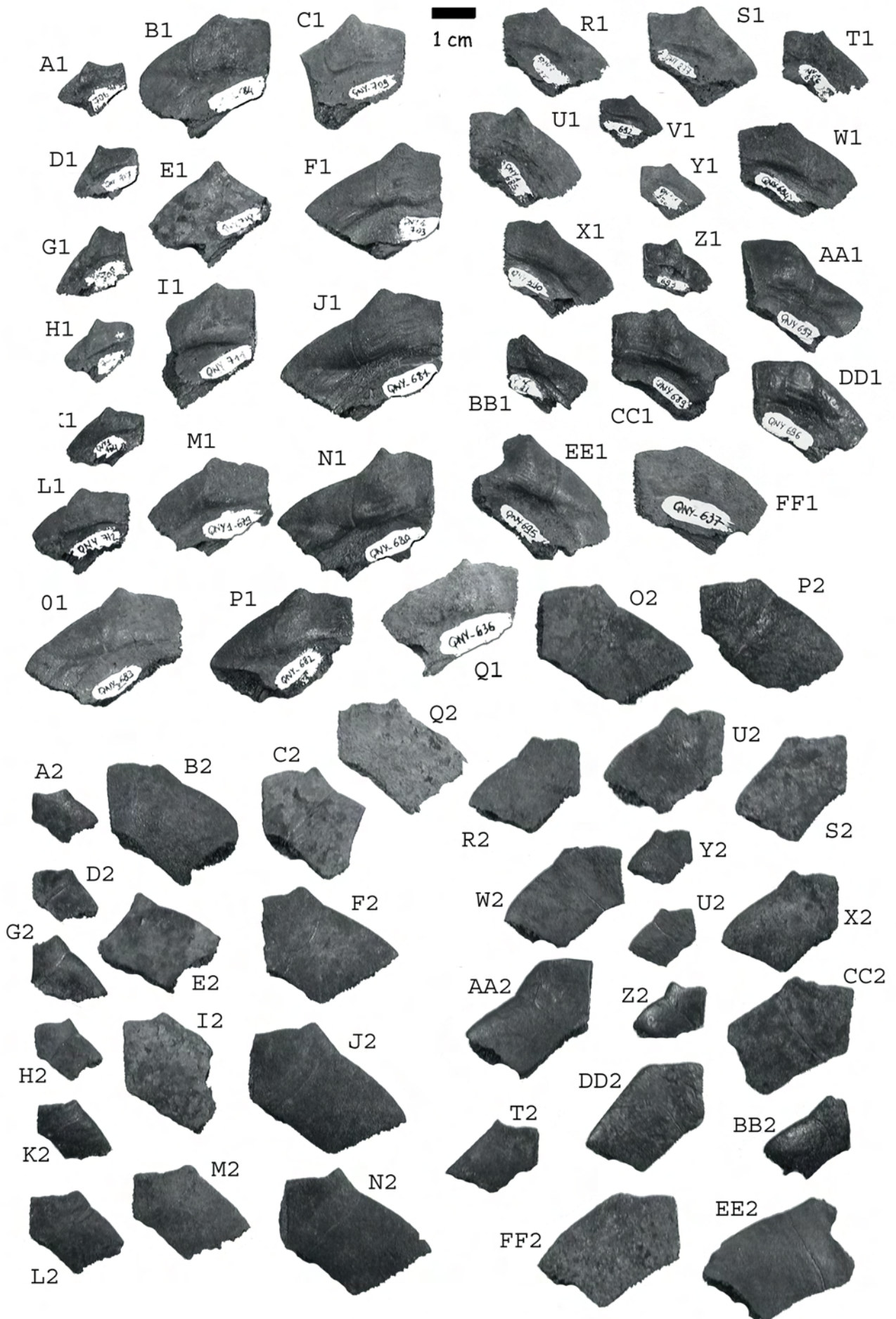


Planche 9

Merovemys ploegi n. g. n. sp. ; coll. MNHN ; Le Quesnoy (Creil, Oise) ; Yprésien.

Ici tous les spécimens sont à la même échelle, le numéro 1 suivant la lettre de la figure désigne la face dorsale, le numéro 2 désigne la face ventrale).

Entoplastrons

Fig. A : QNY-699.

Fig. B : QNY-878.

Fig. C : QNY-701.

Fig. D : QNY1-698.

Fig. E : QNY-879.

Fig. F : QNY-651.

Fig. G : QNY-880.

Fig. H : QNY-700.

Fig. I : QNY-702.

Hyoplastrons gauches

Fig. J : QNY-648.

Fig. K : QNY-737.

Fig. L : QNY-738.

Hyoplastrons droits

Fig. M : QNY-735.

Fig. N : QNY-736.

Fig. O : QNY-647.

:

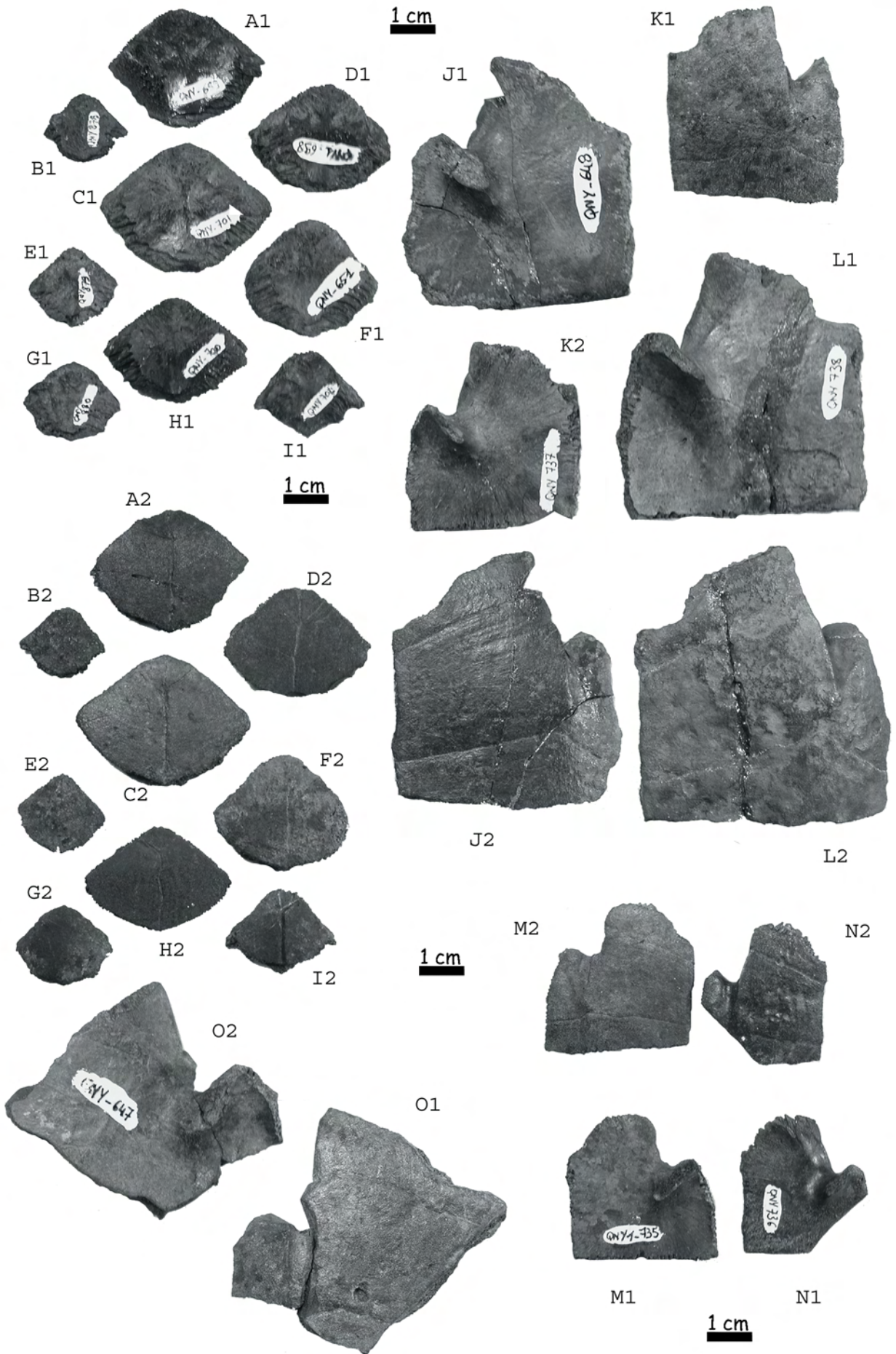


Planche 10

Merovemys ploegi n. g. n. sp. ; coll. MNHN ; Le Quesnoy (Creil, Oise) ; Yprésien.

Ici tous les spécimens sont à la même échelle, le numéro 1 suivant la lettre de la figure désigne la face dorsale, le numéro 2 désigne la face ventrale).

Hypoplastrons

Fig. A : QNY-739.

Fig. B : QNY-649, face dorsale.

Fig. C : QNY-742, face dorsale.

Fig. D : QNY-741.

Fig. E : QNY-740.

Fig. F : QNY-650.

Xiphiplastrons

Fig. G : QNY-652.

Fig. H : QNY-733.

Fig. I : QNY-732.

Fig. J : QNY-734.

Fig. K : QNY-731.

Fig. L : QNY-653.

Fig. M : QNY-729.

Fig. N : QNY-730.

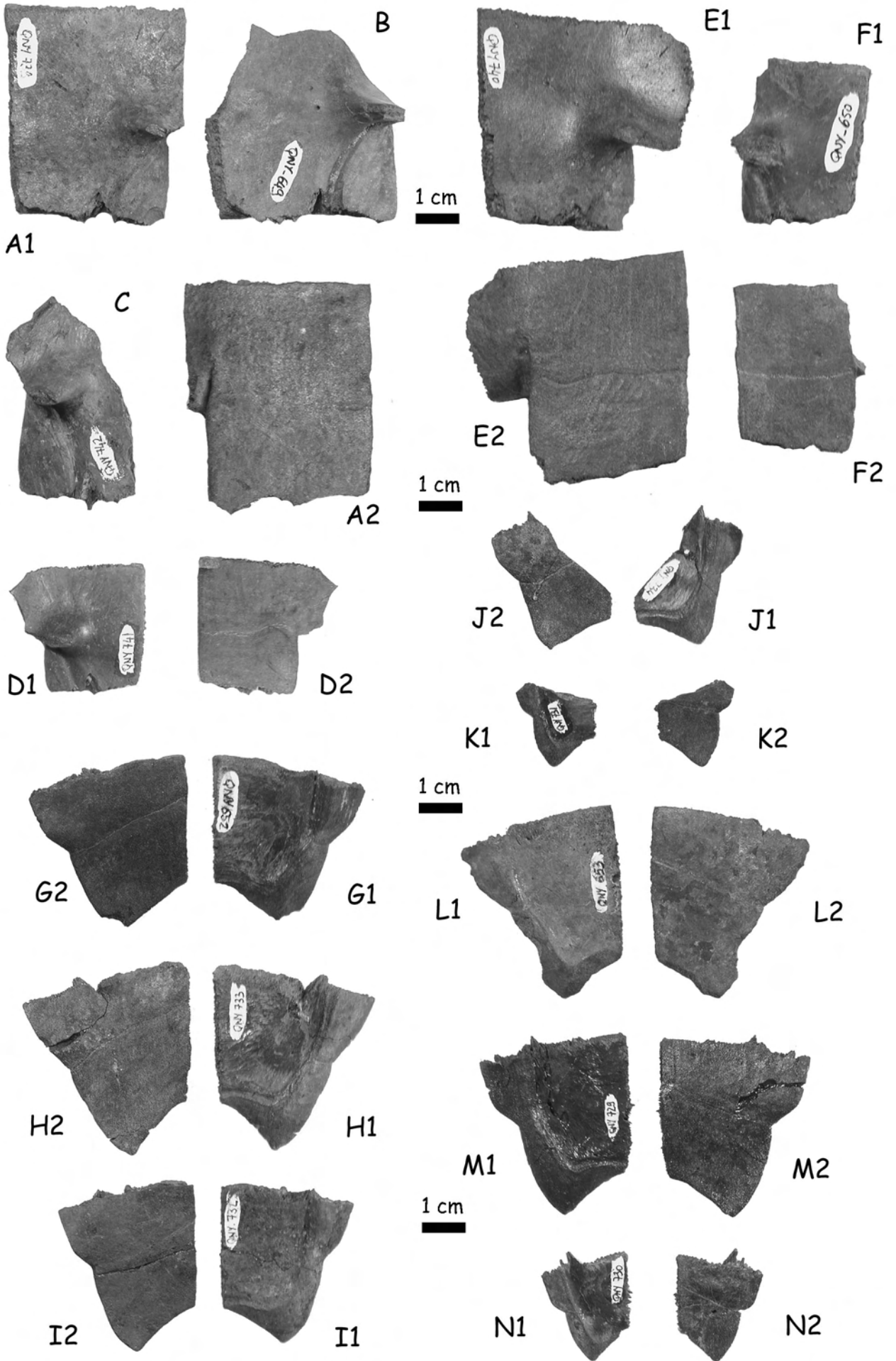


Planche 11

Merovemys ploegi n. g. n. sp. ; coll. MNHN ; Le Quesnoy (Creil, Oise) Yprésien. Ici tous les spécimens sont à la même échelle sauf la figure N (échelle désignée dessous). P.musc=pore à musc.

Nucales (le numéro 1 suivant la lettre de la figure désigne la face dorsale, le numéro 2 désigne la face ventrale).

Fig. A : QNY-715.

Fig. B : QNY-714.

Fig. C : QNY-655.

Fig. D : QNY1-713.

Neurales 1 (face dorsale)

Fig. E1 : QNY-911.

Fig. E2 : QNY2-898.

Fig. E3 : QNY-917.

Fig. E4 : QNY-918.

Neurales 2 (face dorsale)

Fig. F1 : QNY-766

Fig. F2 : QNY-768

Fig. F3 : QNY-927

Fig. F4 : QNY-767

Neurales 3 (face dorsale)

Fig. G1 : QNY-747.

Fig. G2 : QNY1-743.

Fig. G3 : QNY-748.

Fig. G4 : QNY-746.

Fig. G5 : QNY-745.

Fig. G6 : QNY-744.

Neurales 4 (face dorsale)

Fig. H1 : QNY2-921

Fig. H2 : QNY2-923

Fig. H3 : QNY-876

Fig. H4 : QNY-656

Fig. H5 : QNY2-920

Neurales 5 (face dorsale)

Fig. I1 : QNY1-749.

Fig. I2 : QNY-756.

Fig. I3 : QNY-754.

Fig. I4 : QNY-755.

Fig. I5 : QNY-752.

Fig. I6 : QNY1-751.

Neurales 6 (face dorsale)

Fig. J1 : QNY1-758.

Fig. J2 : QNY-759.

Neurales 7 (face dorsale)

Fig. K1 : QNY-762.

Fig. K2 : QNY-761.

Fig. K3 : QNY1-760.

Neurales 8 (face dorsale)

Fig. L1 : QNY-770.

Fig. L2 : QNY-769.

Fig. L3 : QNY-774.

Fig. L4 : QNY-638.

Fig. L5 : QNY-773.

Fig. L6 : QNY-772.

Fig. L7 : QNY-771.

SP1 (face dorsale) :

Fig. M1 : QNY-727.

Fig. M2 : QNY1-725.

Fig. M3 : QNY1-726.

Fig. M4 : QNY1-723.

Fig. M5 : QNY1-724.

Fig. M6 : QNY-678.

Fig. M7 : QNY-728.

SP2 (face dorsale) :

Fig. N : QNY-675.

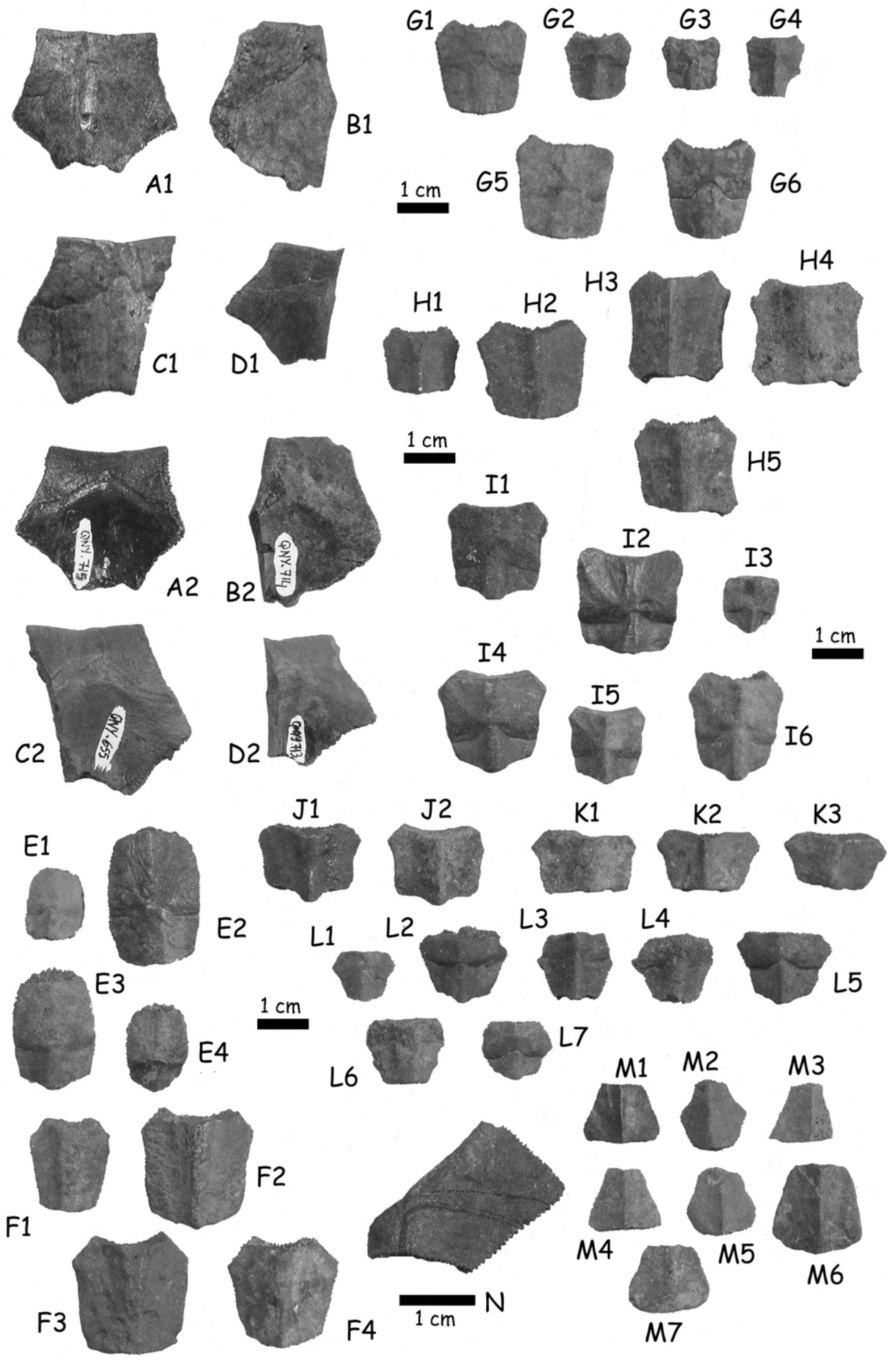


Planche 12

Merovemys ploegi n. g. n. sp. ; coll. MNHN ; Le Quesnoy (Creil, Oise) ; Yprésien.

Pygales (face dorsale, spécimens à la même échelle)

Fig. A1 : QNY-716.

Fig. A2 : QNY1-721.

Fig. A3 : QNY-718.

Fig. A4 : QNY1-720.

Per1 (face dorsale, spécimens à la même échelle)

Fig. B1 : QNY1-837.

Fig. B2 : QNY1-835.

Fig. B3 : QNY-674.

Fig. B4 : QNY-834.

Fig. B5 : QNY-836.

Per2 (face dorsale, spécimens à la même échelle)

Fig. C1 : QNY-843.

Fig. C2 : QNY-841.

Fig. C3 : QNY-662.

Fig. C4 : QNY-840.

Fig. C5 : QNY-842.

Fig. C6 : QNY1-844.

Fig. C7 : QNY1-839.

Fig. C8 : QNY1-838.

Per3 (face interne, spécimens à la même échelle)

Fig. E1 : QNY-853.

Fig. E2 : QNY-668.

Per3 QNY1-845 (échelle indiquée à droite)

Fig. E3 : face interne avec le pore à musc.

Fig. E4 : face ventrale avec l'écaille axillaire.

Périphériques indéterminées du pont (face externe, spécimens à la même échelle)

Fig. D1 : QNY-955.

Fig. D2 : QNY2-952.

Fig. D3 : QNY-953.

Fig. D4 : QNY-957.

Fig. D5 : QNY-954.

Fig. D6 : QNY-956.

Per7 (face interne, spécimens à la même échelle)

Fig. F1 : QNY1-860

Fig. F2 : QNY-858.

Fig. F3 : QNY-861.

Fig. F4 : QNY-864.

Per7 QNY-665 (échelle indiquée à droite)

Fig. F5 : face externe.

Fig. F6 : face interne avec le pore à musc.

Fig. F7 : face ventrale avec l'écaille inguinale.

Per8 (face dorsale, spécimens à la même échelle)

Fig. G1 : QNY1-865.

Fig. G2 : QNY-664.

Fig. G3 : QNY1-866.

Fig. G4 : QNY-867.

Fig. G5 : QNY-868.

Per9 (face dorsale, spécimens à la même échelle)

Fig. H1 : QNY1-869.

Fig. H2 : QNY-872.

Fig. H3 : QNY-661.

Fig. H4 : QNY-871.

Fig. H5 : QNY1-870.

Per10 (face dorsale, spécimens à la même échelle)

Fig. I1 : QNY-874.

Fig. I2 : QNY-873.

Per11 (face dorsale, spécimens à la même échelle)

Fig. J1 : QNY1-964.

Fig. J2 : QNY-973.

Fig. J3 : QNY2-965.

Fig. J4 : QNY2-976.

Fig. J5 : QNY-988.

Fig. J6 : QNY-984.

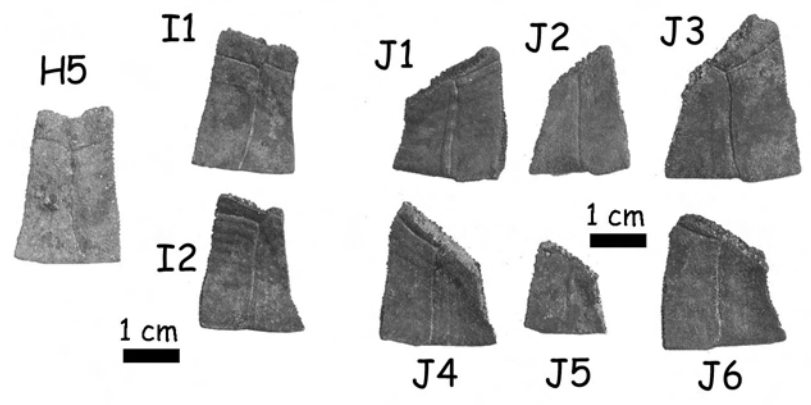
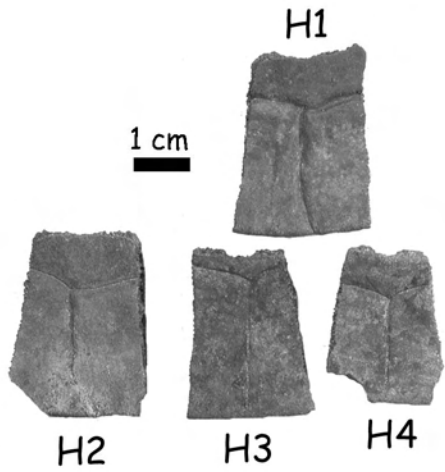
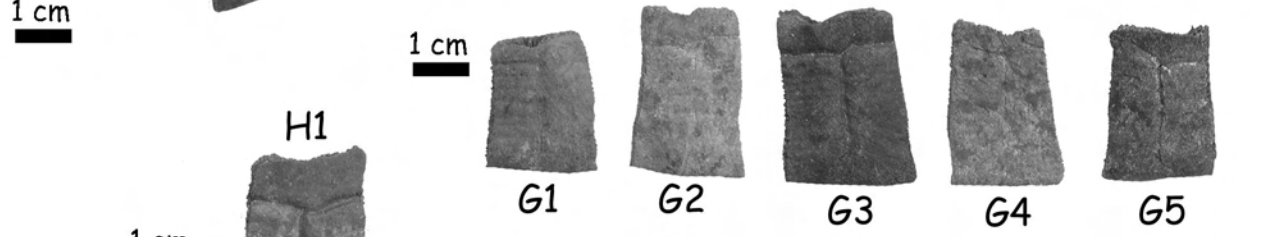
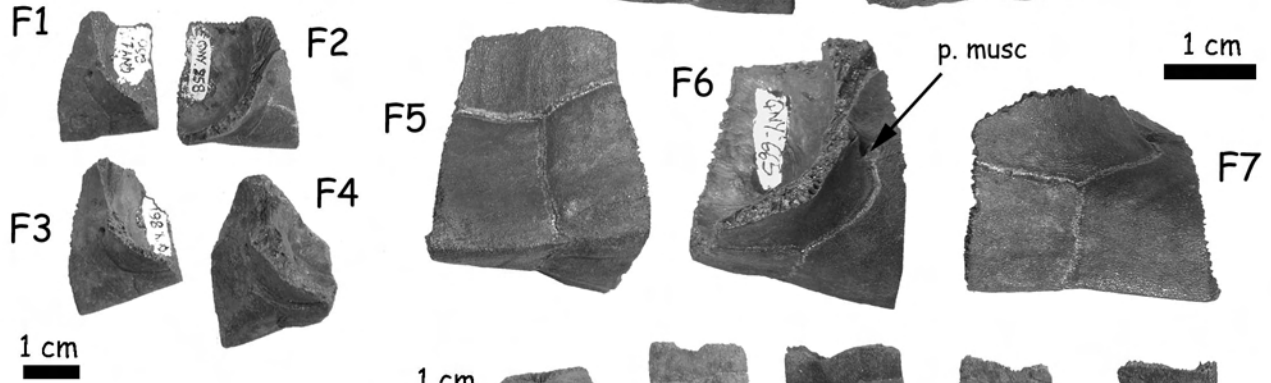
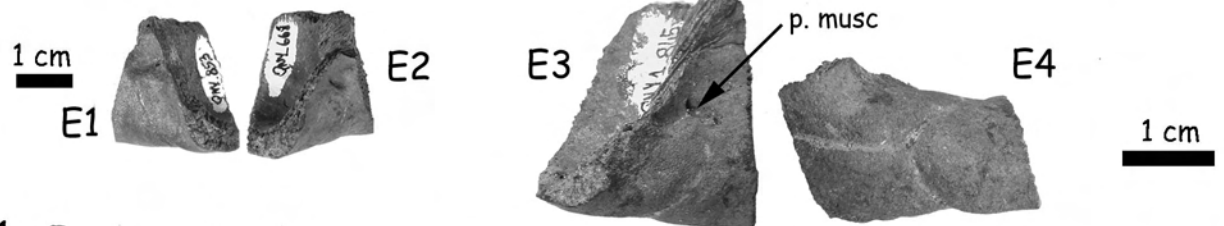
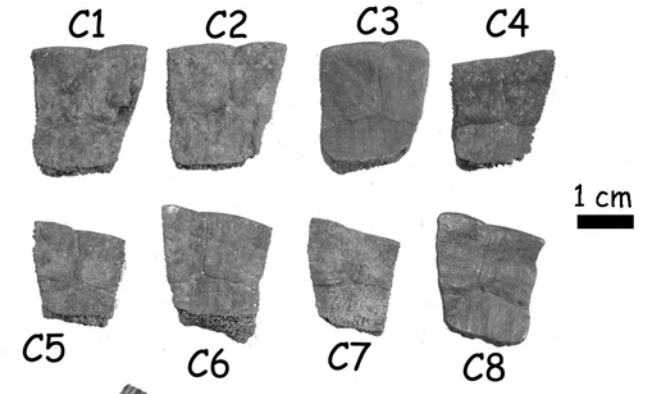
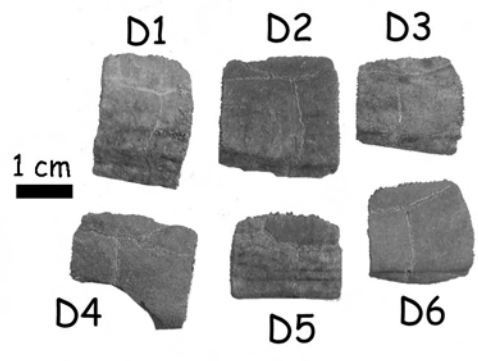
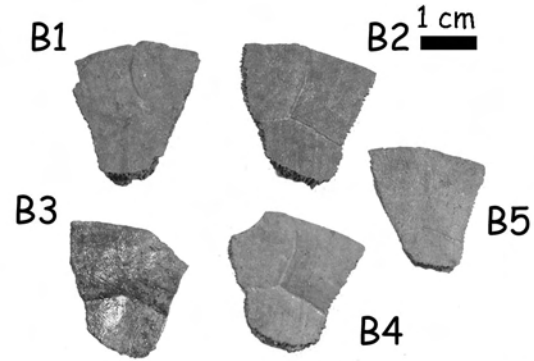


Planche 13

Merovemys ploegi n. g. n. sp. ; coll. MNHN ; Le Quesnoy (Creil, Oise) ; Yprésien.

Ici tous les spécimens sont à la même échelle sauf les figures J et K.

PL1 (le numéro 1 suivant la lettre de la figure désigne la face dorsale, le numéro 2 désigne la face ventrale)

Fig. A : QNY-809.

Fig. B : QNY-802.

Fig. C : QNY1-800.

Fig. D : QNY-819.

Fig. E : QNY-807.

PL2 (face dorsale)

Fig. F1 : QNY-825.

Fig. F2 : QNY1-822.

PL3 (face dorsale)

Fig. G1 : QNY-642.

Fig. G2 : QNY-795.

PL4 (face dorsale)

Fig. H1 : QNY-641.

Fig. H2 : QNY-830.

Fig. H3 : QNY-833.

Fig. H4 : QNY-829.

Fig. H5 : QNY-831.

Fig. H6 : QNY1-828.

Fig. H7 : QNY-832.

PL6 (face dorsale)

Fig. I : QNY1-790.

PL7 (face dorsale)

Fig. J : QNY-643.

PL8 (face dorsale)

Fig. K1 : QNY-657.

Fig. K2 : QNY-992.

Fig. K3 : QNY-993.

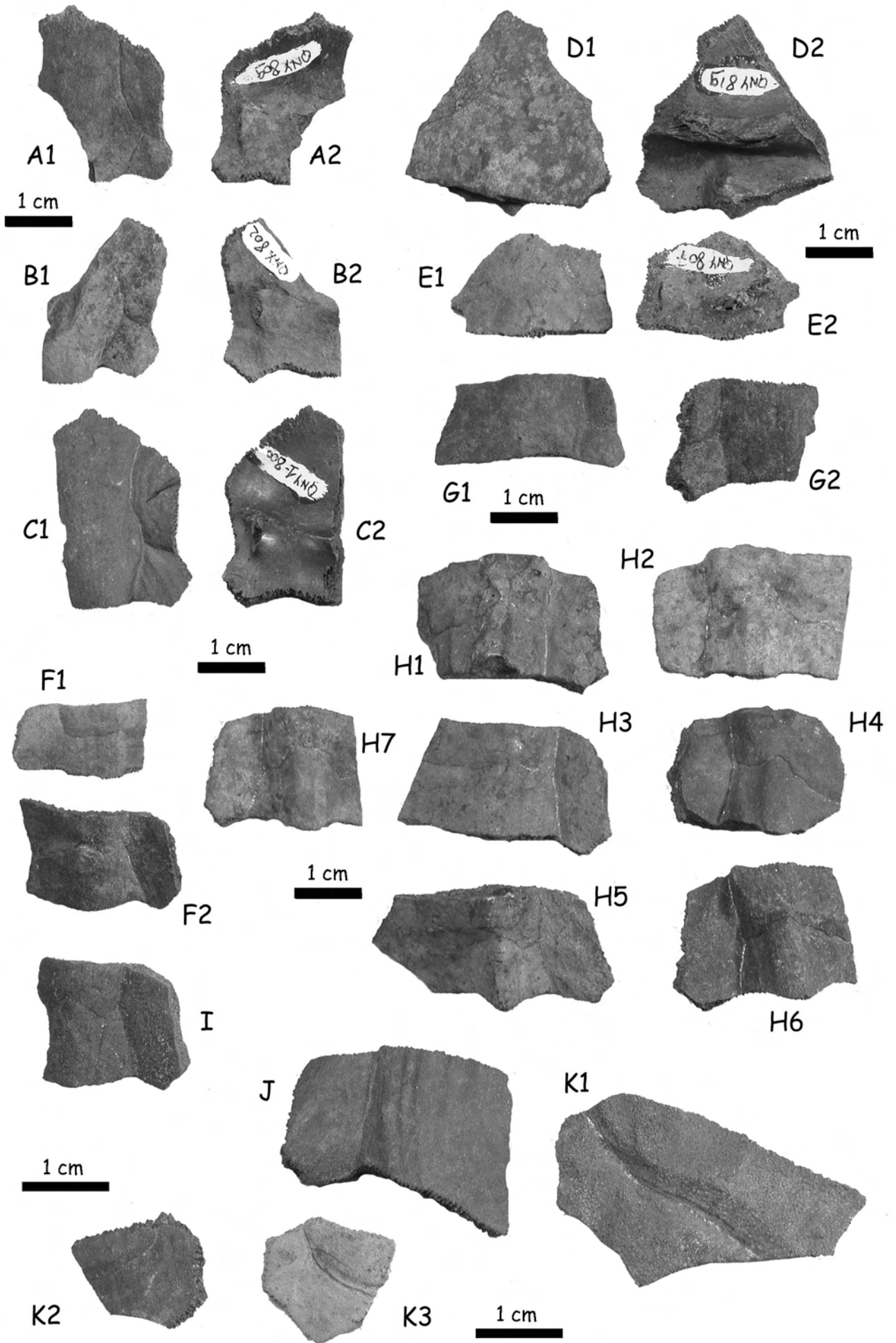


Planche 14

***Merovemys ploegi* n. g. n. sp. ; PL5 droite, MNHN QNY-663 ; Le Quesnoy (Creil, Oise) ; Yprésien.**

Fig. A : face antérieure.

Fig. B : face dorsale.

Fig. C : face ventrale.

Fig. D : face postérieure.

***Geiselemys ptychogastroides* (Hummel, 1935) ; Geiseltal (Saale, Allemagne) ; Eocène moyen.**

Fig. E : reproduction de la figure originale de Hummel (1935, Pl. 1, fig. c), plastron, face dorsale.

***Merovemys ploegi* n. g. n. sp. ; MNHN 1961-05 ; Mutigny (Marne), Yprésien**

Fig. F : fragment d'hyoplastron gauche, face ventrale.

Fig. G : fragment d'hyoplastron gauche, face dorsale.

***Merovemys ploegi* n. g. n. sp. ; Le Quesnoy (Creil, Oise) ; Yprésien.**

Fig. H ; reconstruction du plastron, face ventrale.

Fig. I ; reconstruction du plastron, face dorsale.

Fig. J ; reconstruction de la dossière, face dorsale.

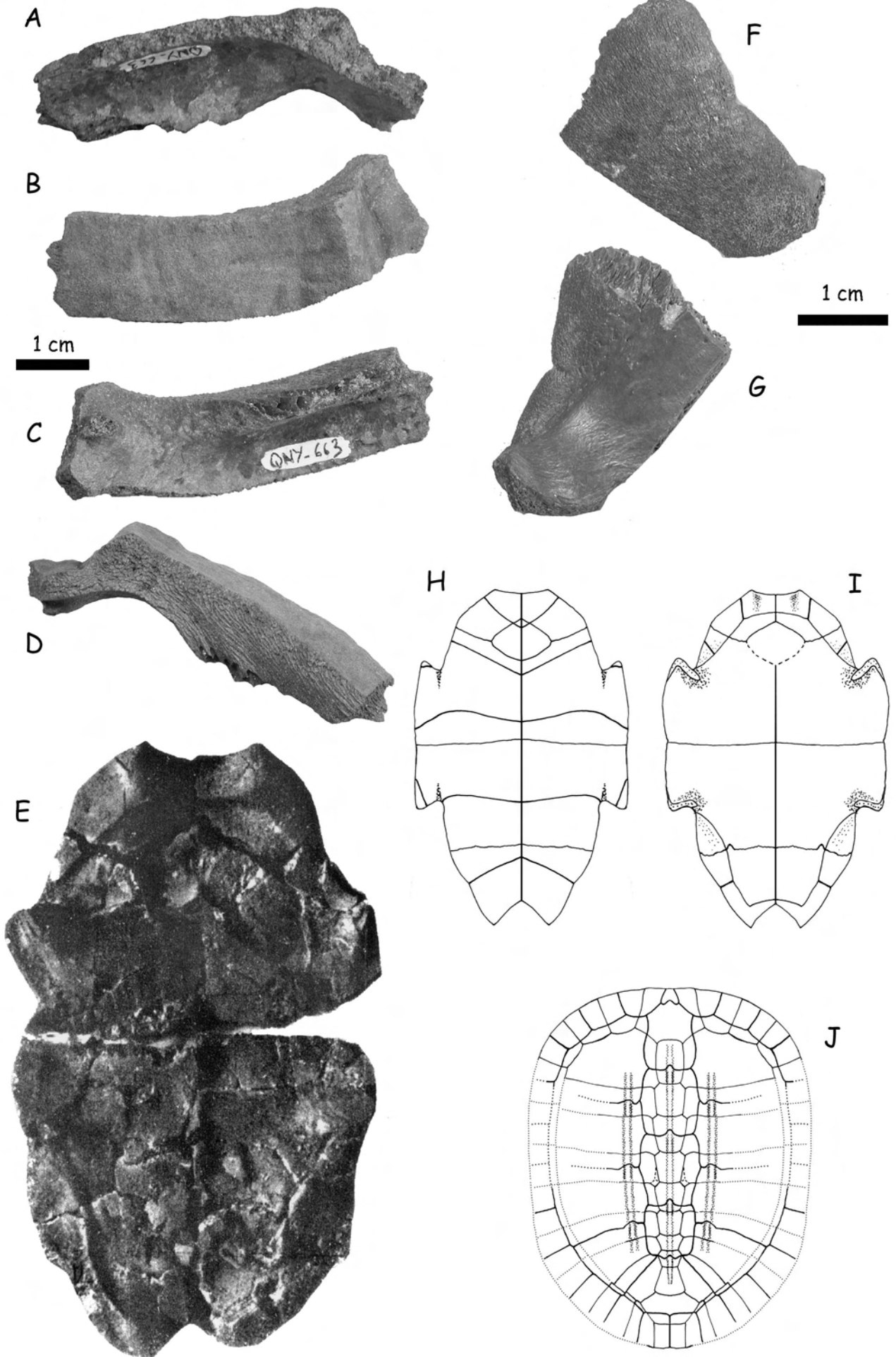


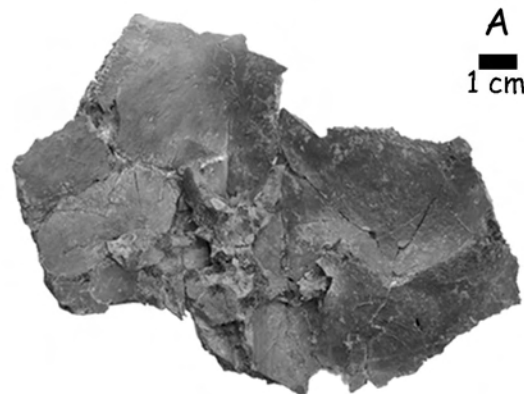
Planche 15

***Palaeoemys hessiaca* Schleich, 1994a ; Holotype (n°1992/1, Musée de la ville de Borken en dépôt au Musée de la ville de Kassel, Allemagne) ; Borken (Hessen, Allemagne) ; Lutétien.**

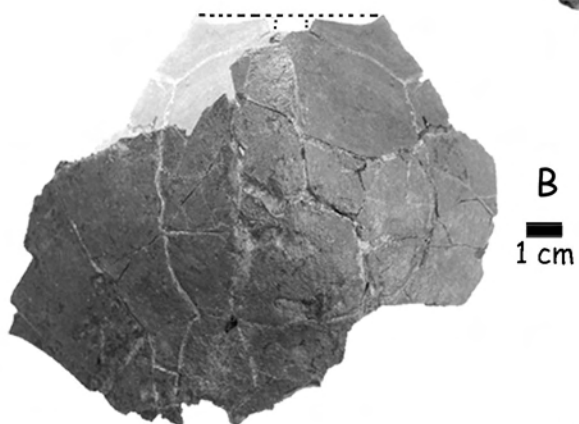
Fig. A : nucale et fragment des PL1, face ventrale.

Fig. B : nucale et fragment des PL1, face dorsale.

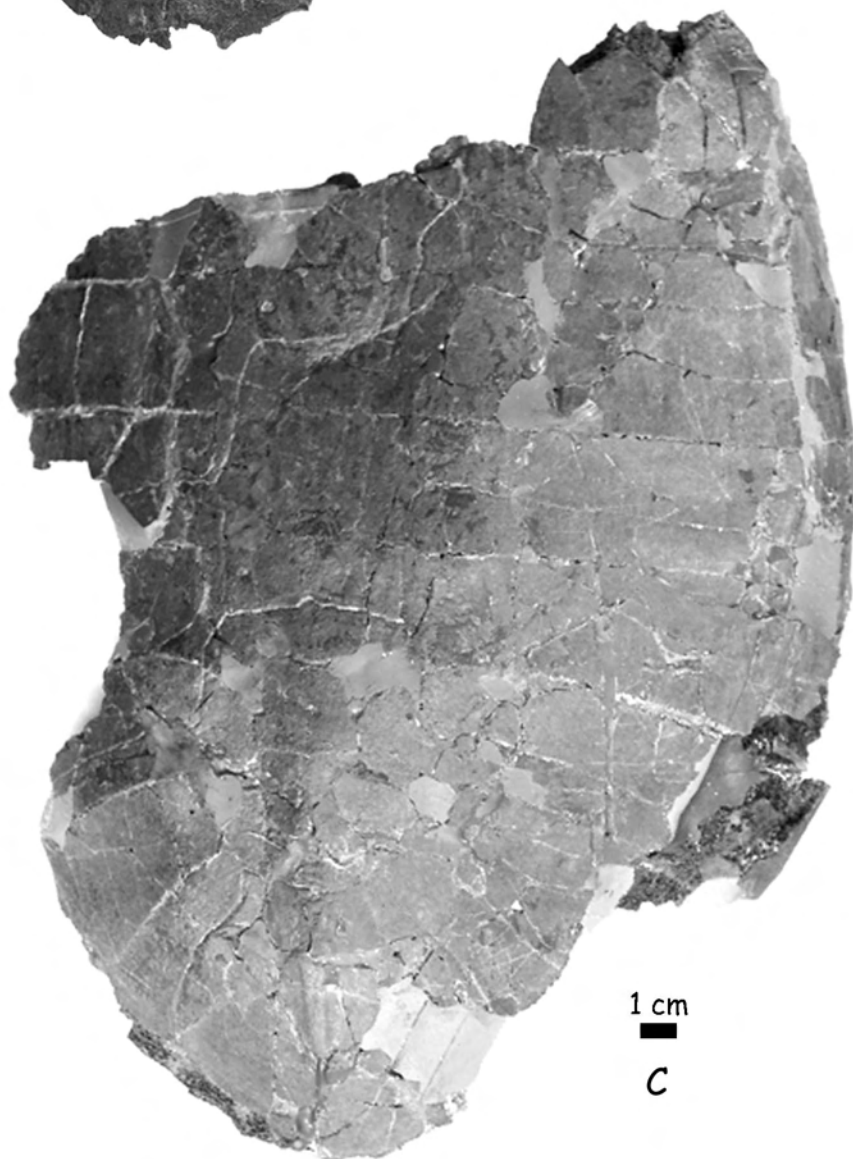
Fig. C : fragment de la dossière, face dorsale.



A
1 cm



B
1 cm



1 cm
C

Planche 16

***Palaeoemys hessiaca* Schleich, 1994a ; Holotype (n°1992/1, Musée de la ville de Borken en dépôt au Musée de la ville de Kassel, Allemagne) ; Borken (Hessen, Allemagne) ; Lutétien.**

Fig. A : détail du bourrelet gulaire, face dorsale des épiplestrons.

Fig. B : plastron, face dorsale.

Fig. C : plastron, face ventrale.

Fig. D : reconstruction proposée, face ventrale de la carapace.

Fig. E : reconstruction proposée, face dorsale de la carapace.

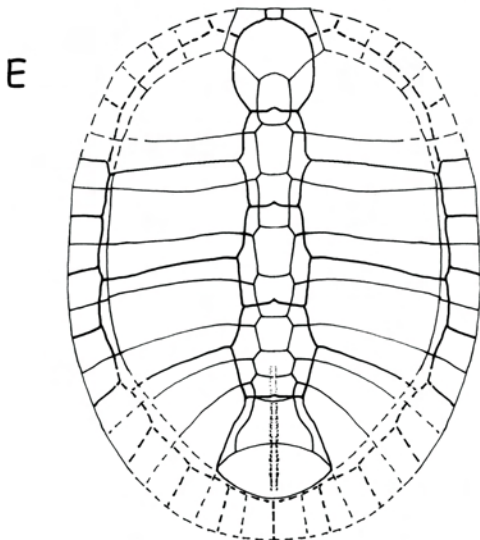
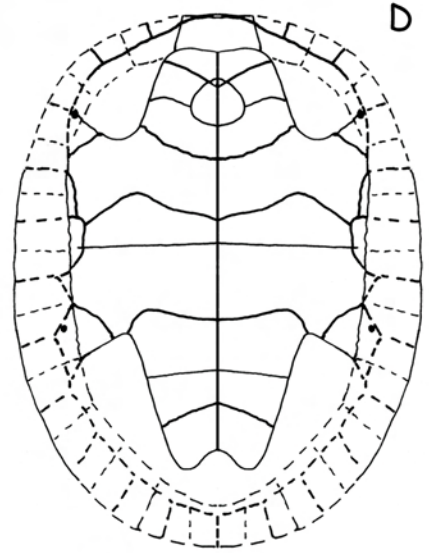
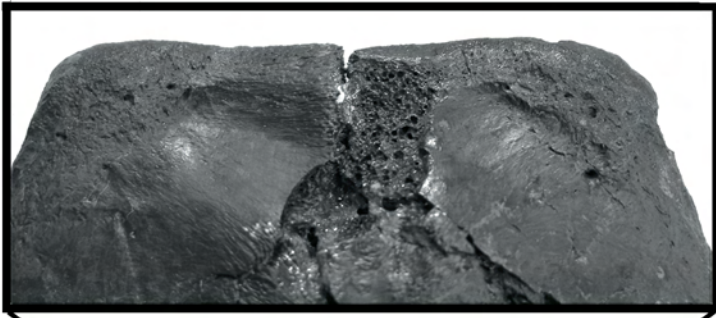


Planche 17

***Palaeoemys occitana* n. sp. ; Saint-Papoul (Aude, France) ; Cuisien.**

Fig. A : Paratype, MNHN SPP 19, carapace, face dorsale.

Fig. B : Paratype, MNHN SPP 19, carapace, face ventrale.

Fig. C : Holotype, MNHN SPP 18, carapace, face dorsale.

Fig. C : Holotype, MNHN SPP 18, carapace, face ventrale.

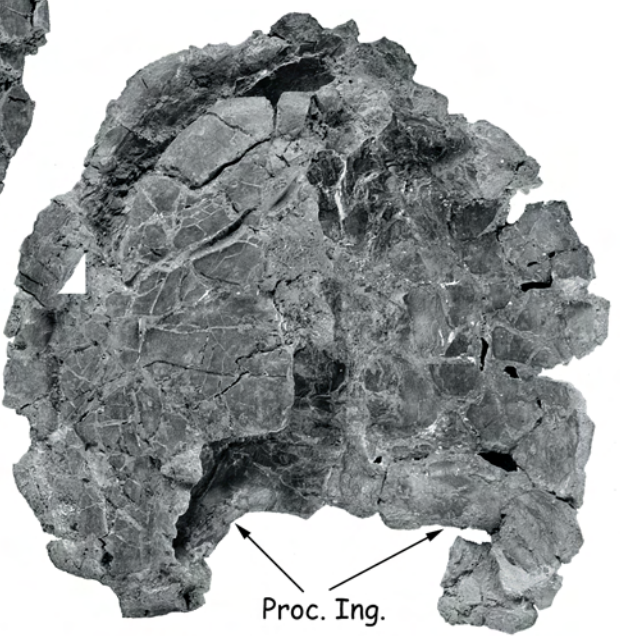


Planche 18

***Palaeoemys occitana* n. sp. ; Saint-Papoul (Aude, France) ; Cuisien.**

Fig. A : Paratype, MNHN SPP 19, carapace, face ventrale.

Fig. B : Paratype, MNHN SPP 19, carapace, face dorsale.

Fig. C : Holotype, MNHN SPP 18, carapace, face dorsale.

Fig. D : reconstruction proposée, carapace, face dorsale

Fig. E : Paratype, MNHN SPP2, hyoplastron gauche, face dorsale.

Fig. F : Paratype, MNHN SPP2, hyoplastron gauche, face ventrale.

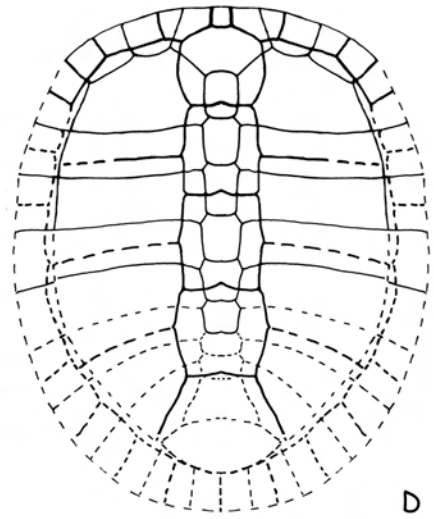
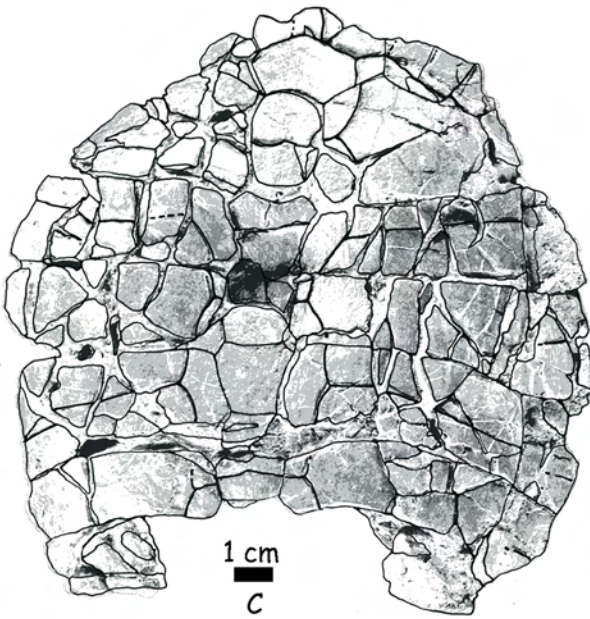
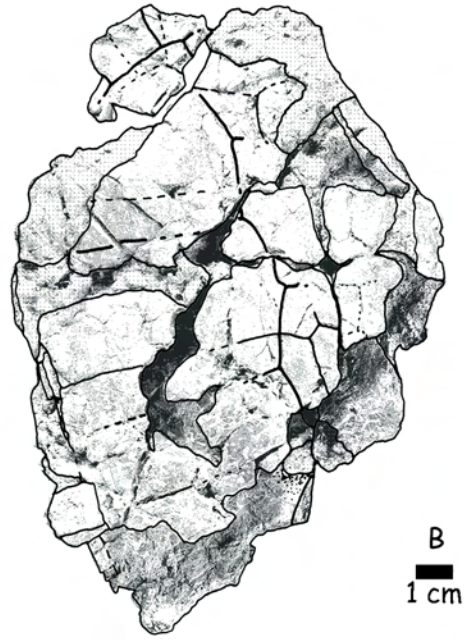
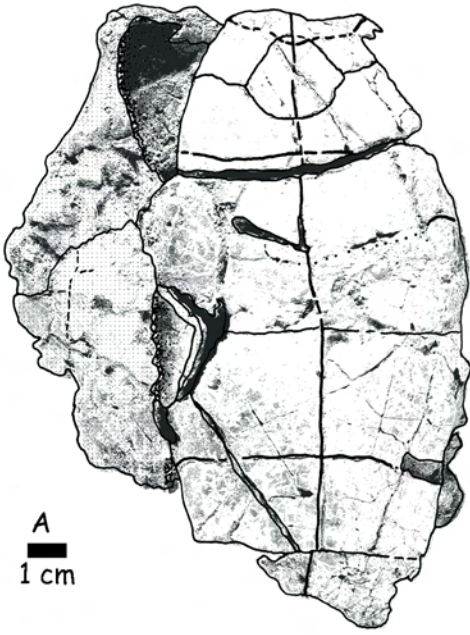


Planche 19

***Palaeoemys occitana* n. sp. ; Saint-Papoul (Aude, France) ; Cuisien.**

Fig. A : Paratype, MNHN SPP 19, épiplestrons, entoplestron et fragments des hyoplestrons, face ventrale.

Fig. B et C : Paratype, MNHN SPP 19, épiplestrons, entoplestron et fragments des hyoplestrons, face dorsale.

Fig. D : Holotype, MNHN SPP 18, épiplestron droit, face ventrale.

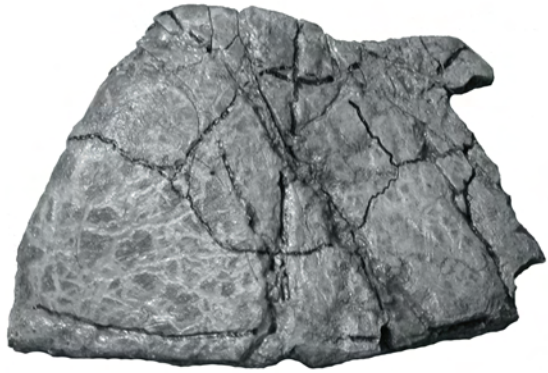
Fig. E et F : Holotype, MNHN SPP 18, épiplestron droit, face dorsale.

Fig. G : Paratype, MNHN SPP11, nucale, face ventrale.

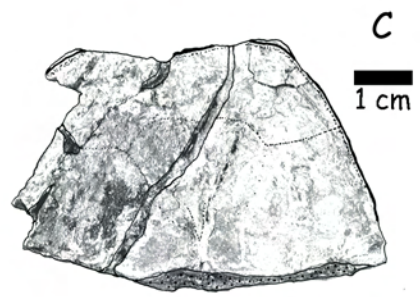
Fig. H : Paratype, MNHN SPP11, nucale, face dorsale.

Fig. I : Paratype, MNHN SPP10, nucale, face dorsale.

Fig. J et K : Paratype, MNHN SPP10, nucale, face ventrale.



A
1 cm



C
1 cm



B



D



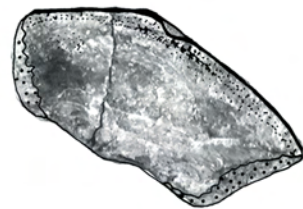
1 cm

E

G

1 cm

H



F

I

1 cm

J

K

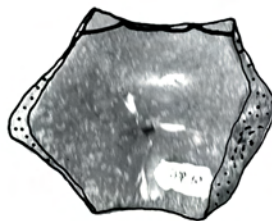


Planche 20

***Palaeoemys occitana* n. sp. ; Saint-Papoul (Aude, France) ; Cuisien.**

Fig. A et B : Paratype, MNHN SPP 14, fragment de nucale, per1 à 3 droites, fragment de P11 droite, face dorsale.

Fig. C : Paratype, MNHN SPP 14, fragment de nucale, per1 à 3 droites, fragment de P11 droite, face ventrale.

***Palaeoemys* sp. ; Monthelon (Marne, France) ; Cuisien.**

Fig. D : MNHN MT 17369, hyoplastron droit, face ventrale.

Fig. E : MNHN MT 17368, hyoplastron gauche, face ventrale.

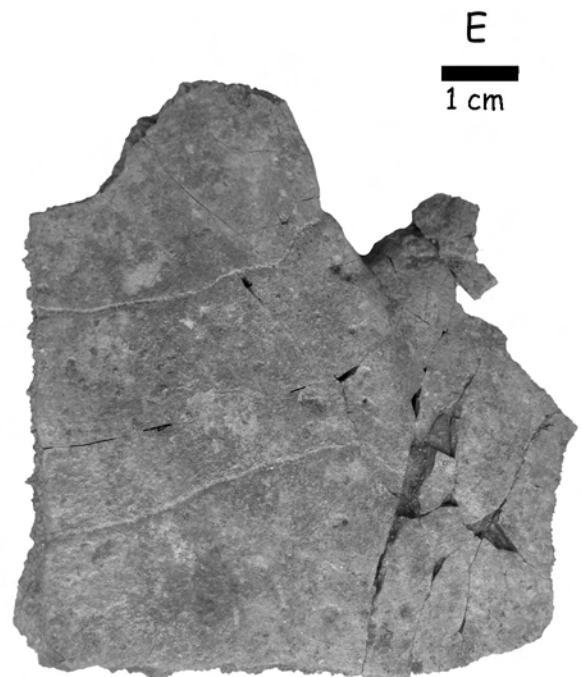
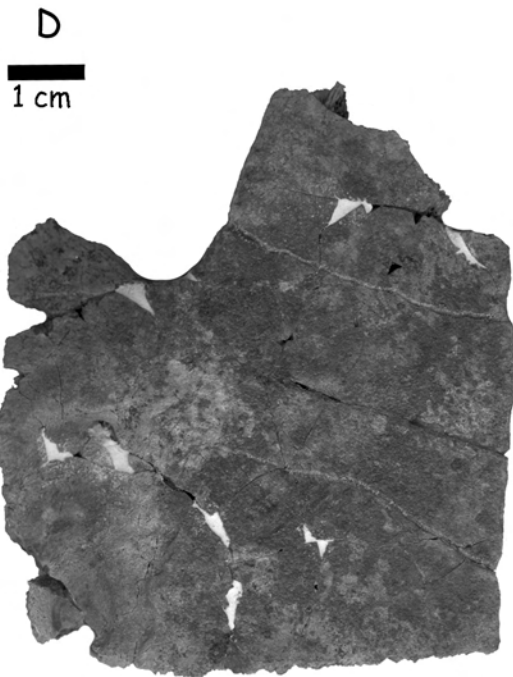
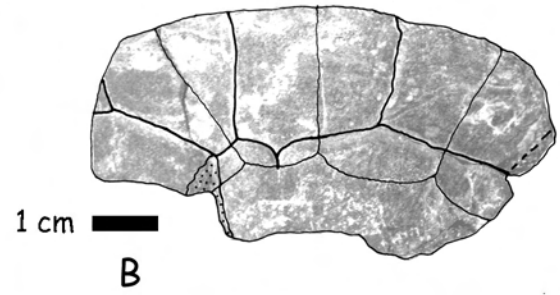


Planche 21

Francellia salouagmirae n. g. n. sp. ; Holotype, MNHN RI 451, Rians (Var, France) ;
Yprésien.

Fig. A : carapace, face dorsale.

Fig. B : carapace, face ventrale.



A

0 1cm



B

Planche 22

Francellia salouagmirae n. g. n. sp. ; Holotype, MNHN RI 451, Rians (Var, France) ;

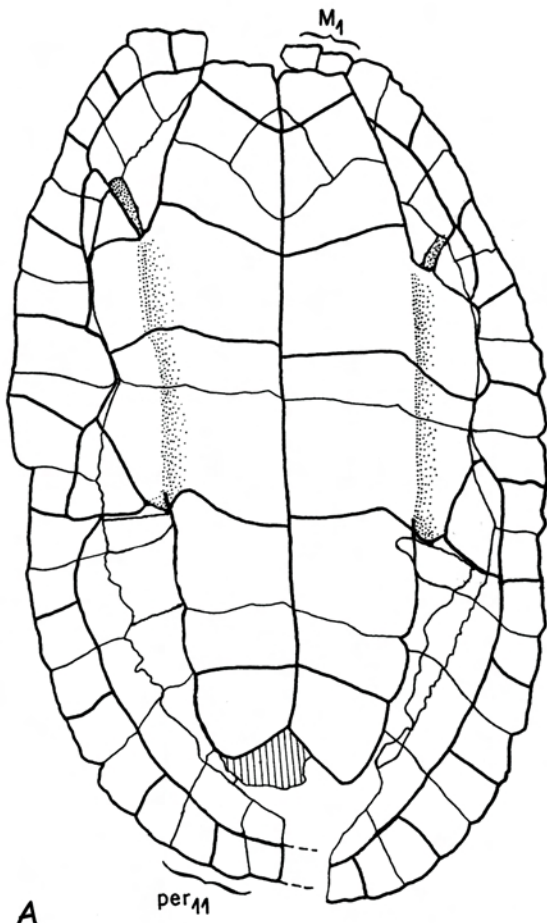
Yprésien.

Fig. A : carapace, face dorsale.

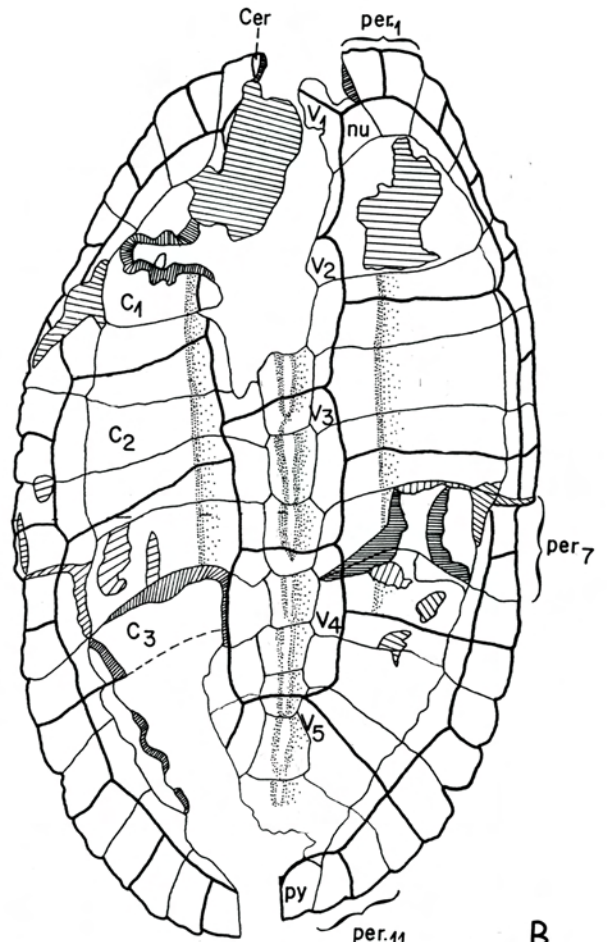
Fig. B : carapace, face ventrale.

Fig. C : carapace, vue latérale gauche.

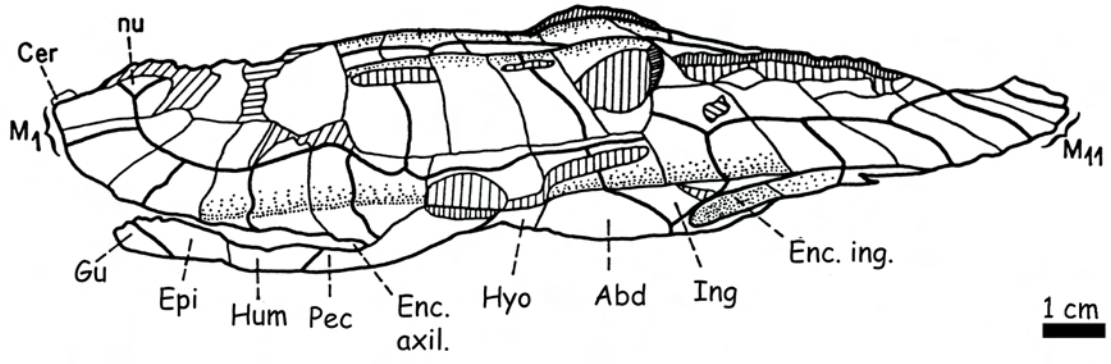
Fig. D : carapace, vue latérale droite.



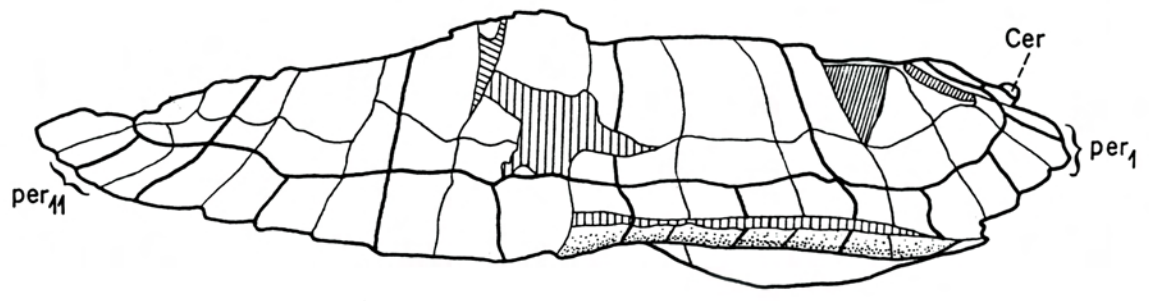
A



B



C



D

Planche 23

Francellia salouagmirae n. g. n. sp. ; Holotype, MNHN RI 451, Rians (Var, France) ;
Yprésien.

Fig. A : carapace, vue antérieure.

Fig. B : détail de la face dorsale des épipلاstrons et de l'entopلاstron.

Fig. C : carapace, face ventrale, en vue antéro-latérale gauche.

Fig. D : détail du xiphiplastron gauche, face dorsale.

Fig. E : carapace, vue postérieure.

Fig. F : reconstitution, carapace, face dorsale.

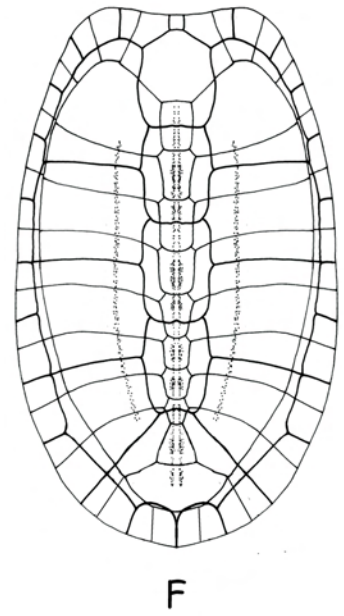
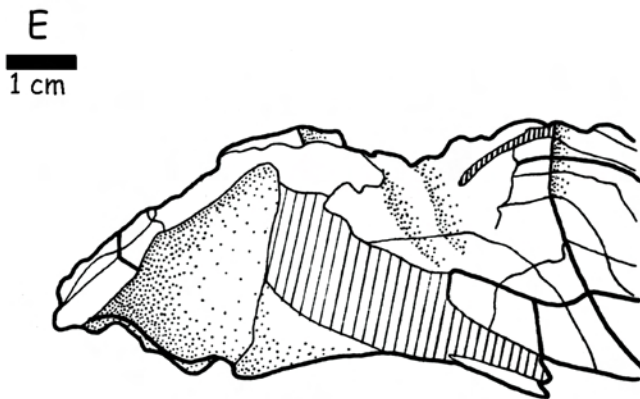
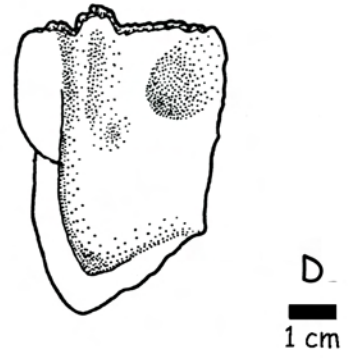
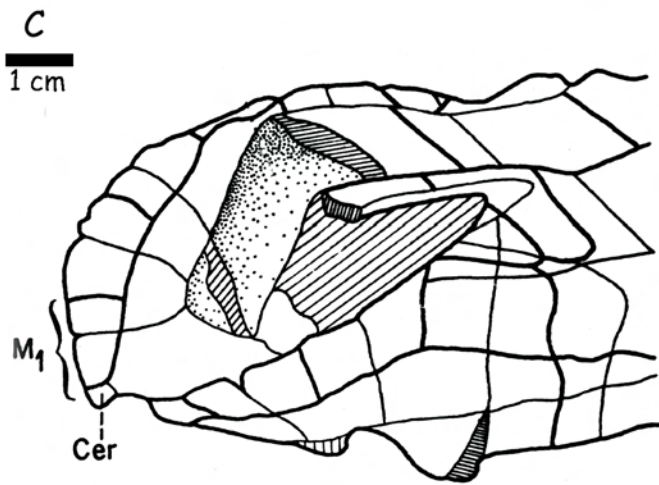
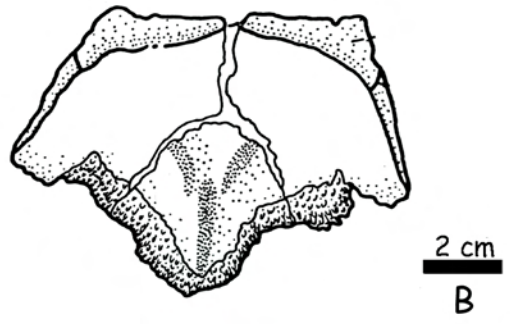
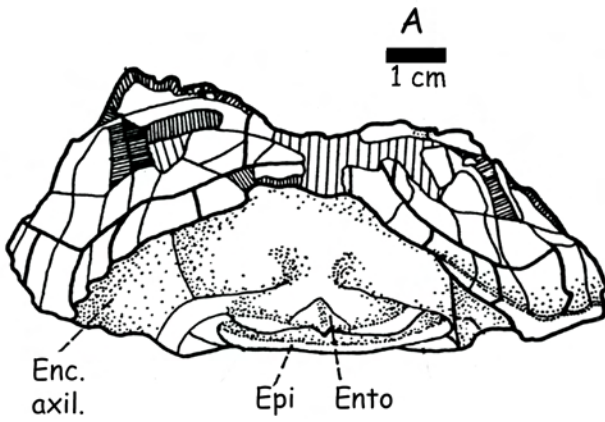


Planche 24

***Francellia messeliana* (Staesche, 1928) ; Holotype, HLD-Me-1444, Messel (Allemagne) ; Lutétien.**

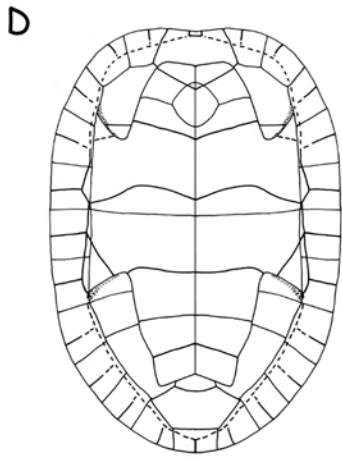
Fig. A : carapace, face ventrale, figuration originale de Staesche (1928, Pl. I, fig. 2)

Fig. B : carapace, face dorsale.

Fig. C : détail de l'avant de la dossière, face dorsale.

Fig. D : reconstitution proposée, carapace, face ventrale.

Fig. E : reconstitution proposée, carapace, face dorsale.



A

1 cm

B



1 cm

C

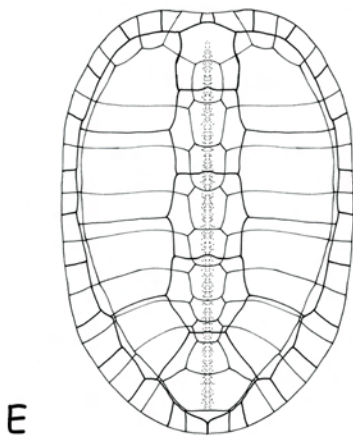


Planche 25

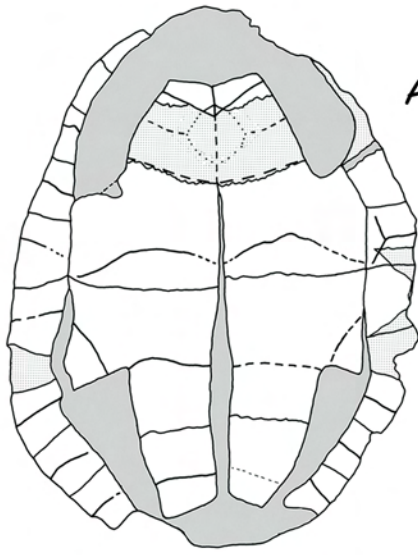
***Francellia messeliana* (Staesche, 1928) ; Messel (Allemagne) ; Lutétien.**

Fig. A : Holotype, HLD-Me-1444, carapace, face ventrale, d'après la figuration originale de Staesche (1928, Pl. I, fig. 2)

Fig. B : Holotype, HLD-Me-1444, carapace, face dorsale.

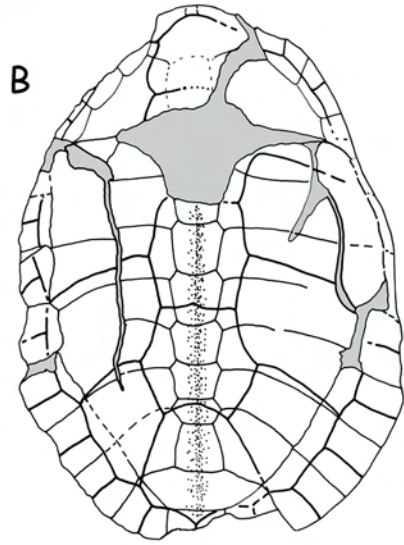
Fig. C et D : SMF-Me-2607, dossière, face dorsale.

Fig. E et F : HLD-Me-10477, dossière, face dorsale.

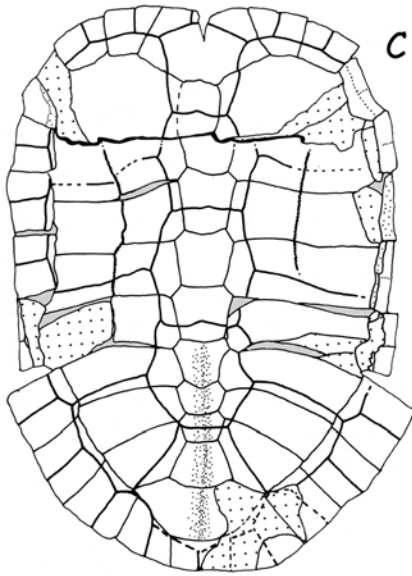


A

1 cm



B



C

1 cm

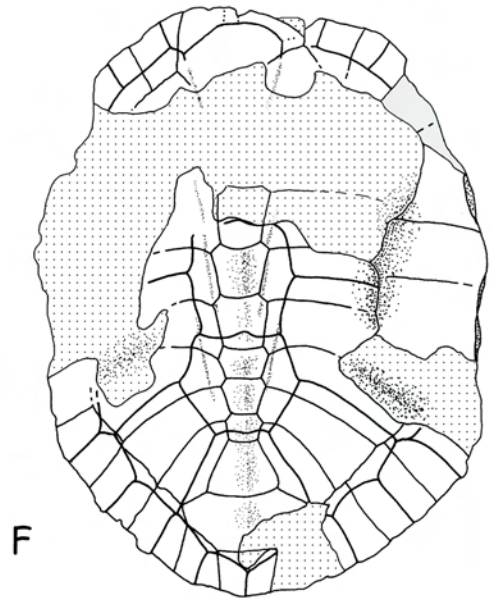


D



E

1 cm



F

Planche 26

***Francellia messeliana* (Staesche, 1928) ; Messel (Allemagne) ; Lutétien.**

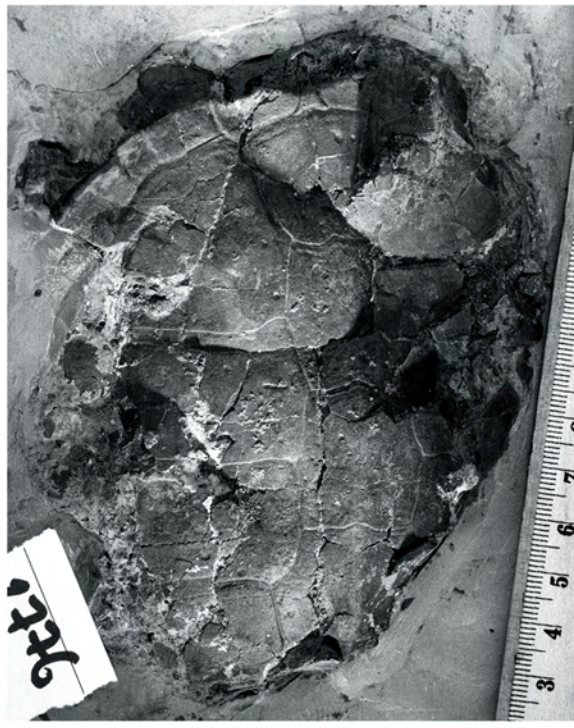
Fig. A : SMF-Me-2776 : fragment de dossière et fragment de plastron, face dorsale.

Fig. B : HLD-Me-7960, dossière, face dorsale.

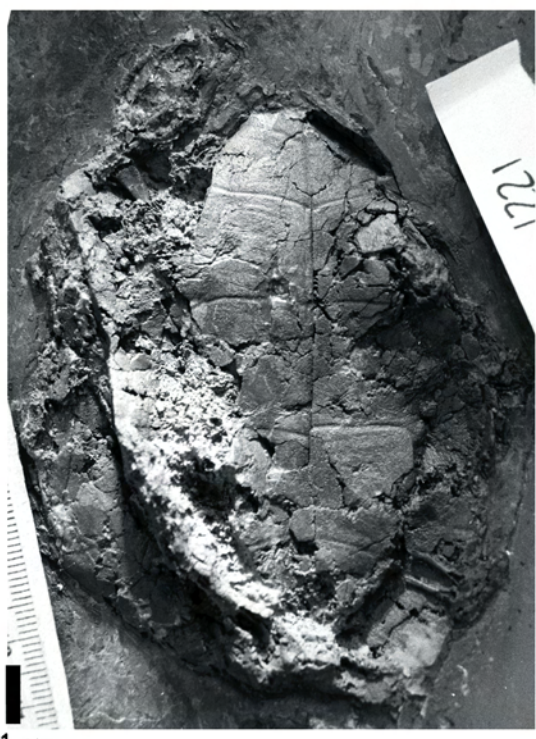
Fig. C : SMF-Me-1221, plastron et fragment de dossière, face ventrale.

Fig. D : HLD-Me-15011, dossière, face dorsale.

A

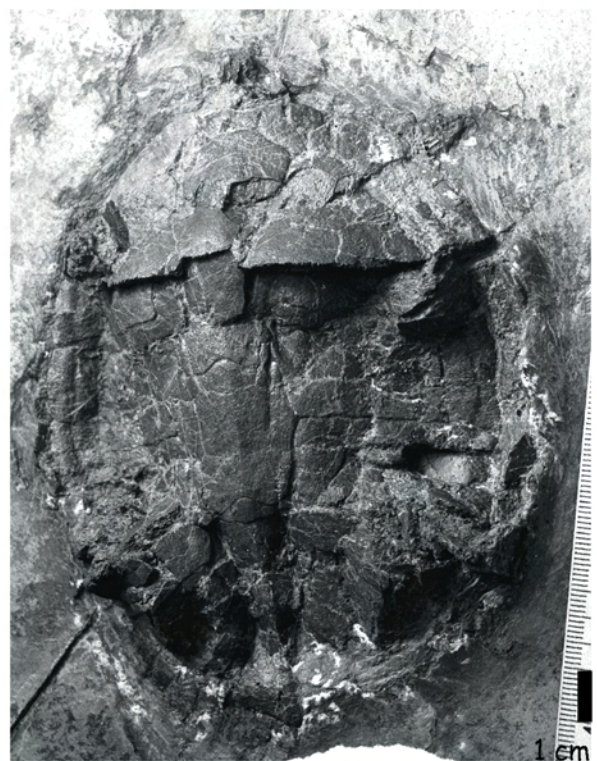


B



1 cm

C



1 cm

D

Planche 27

? *Francellia* sp. ; UCB-L1 92836 ; La Livinière 1 – Ancely (Hérault, France) ; Lutétien.

Fig. A et B : dossière, face dorsale.

Fig. C (d'après Broin, 1977) et D : plastron, face ventrale.

***Juvenys labarrerei* n. g. n. sp. ; MNHN EGY 10 ; Eygalayes (Drôme, France) ; Lutétien.**

Fig. E : plastron, face ventrale (d'après Broin, 1977).

Fig. F : dossière, face dorsale (d'après Broin, 1977).

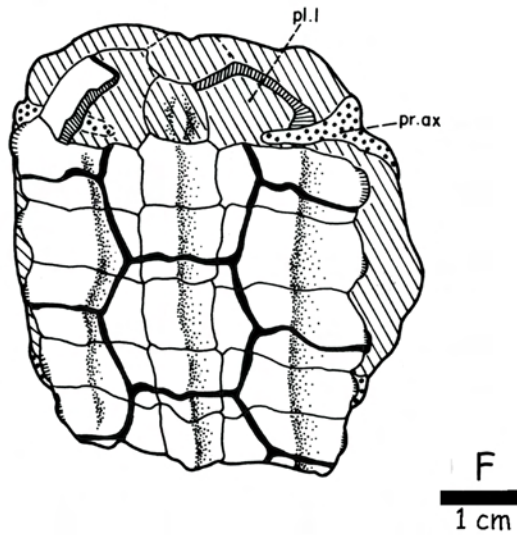
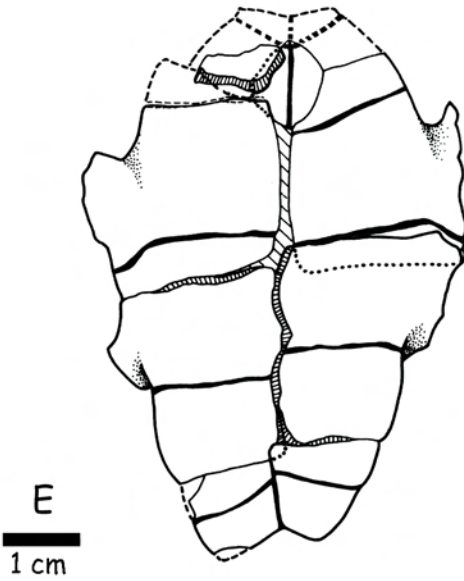
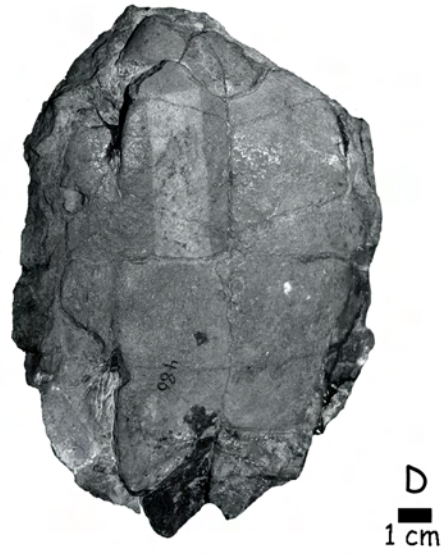
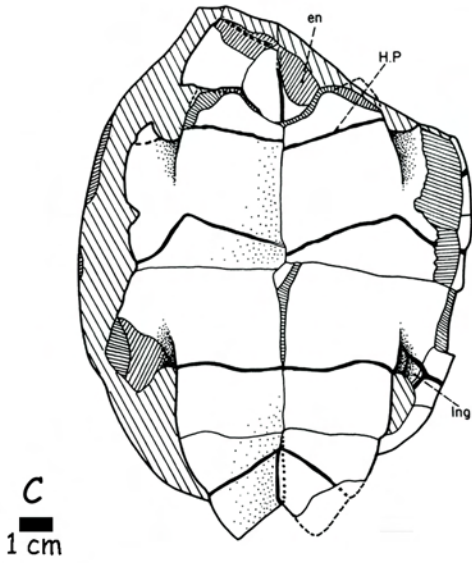
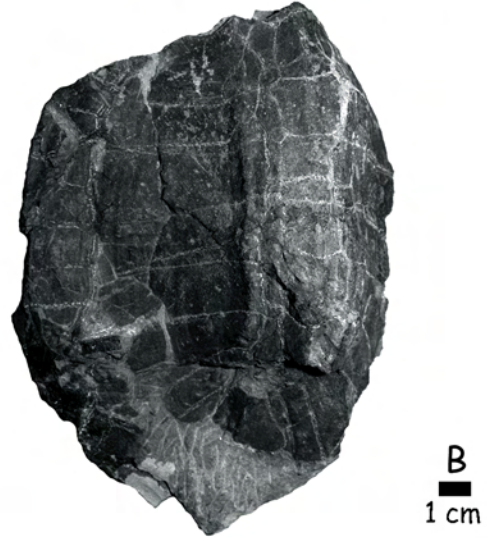
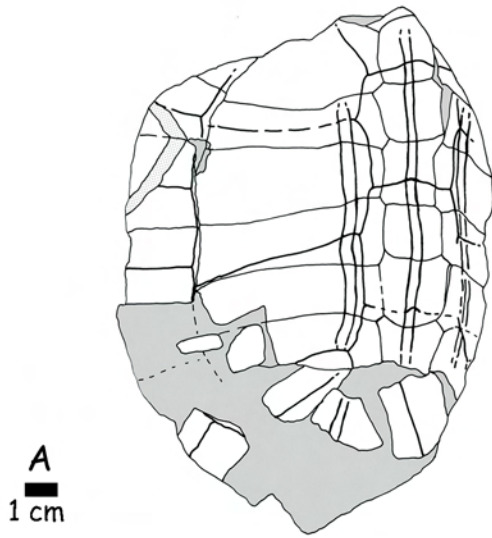


Planche 28

Juvenys labarrerei n. g. n. sp. ; Holotype, MNHN SPP 17 ; Saint-Papoul (Aude, France) ; Cuisien.

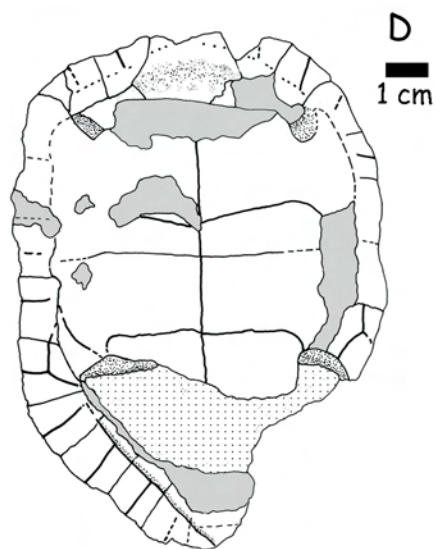
Fig. A et D : carapace, face ventrale.

Fig. B et E : carapace, face dorsale.

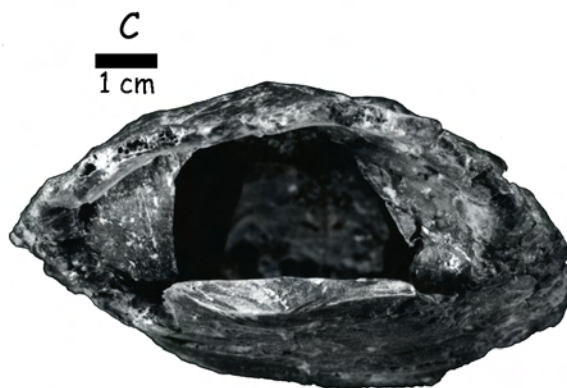
Fig. C : carapace, vue antérieure.



A
1 cm



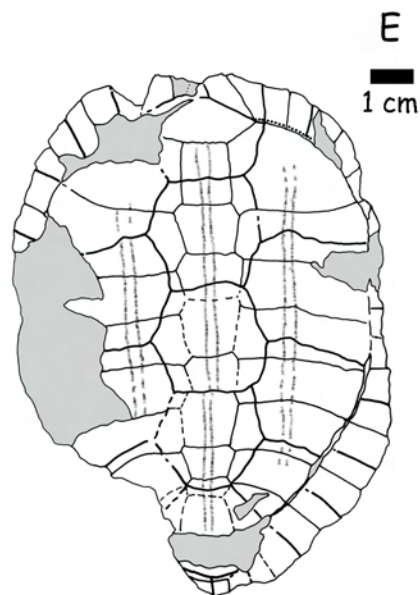
D
1 cm



C
1 cm



B
1 cm



E
1 cm

Planche 29

***Juvenys labarrerei* n. g. n. sp. ; MNHN EBA 192 ; Pépieux-Cesseras (France) ; Lutétien.**

Fig. A : carapace, face dorsale.

Fig. B : carapace, face ventrale.

Fig. C : détail du bourrelet gulaire et de l'avant de la dossière, face dorsale.

***Juvenys labarrerei* n. g. n. sp. ; Saint-Papoul (Aude, France) ; Cuisien.**

Fig. D : Patatype MNHN SPP 16, fragments postérieurs de la dossière, face dorsale.

Fig. E : Patatype MNHN SPP 16, fragments postérieurs de la dossière, face ventrale.

Fig. F : Paratype MNHN SPP 26, fragment des PL5 et 6 gauches, face dorsale.

Fig. G : Paratype MNHN SPP 26, fragment des PL5 et 6 gauches, face ventrale.

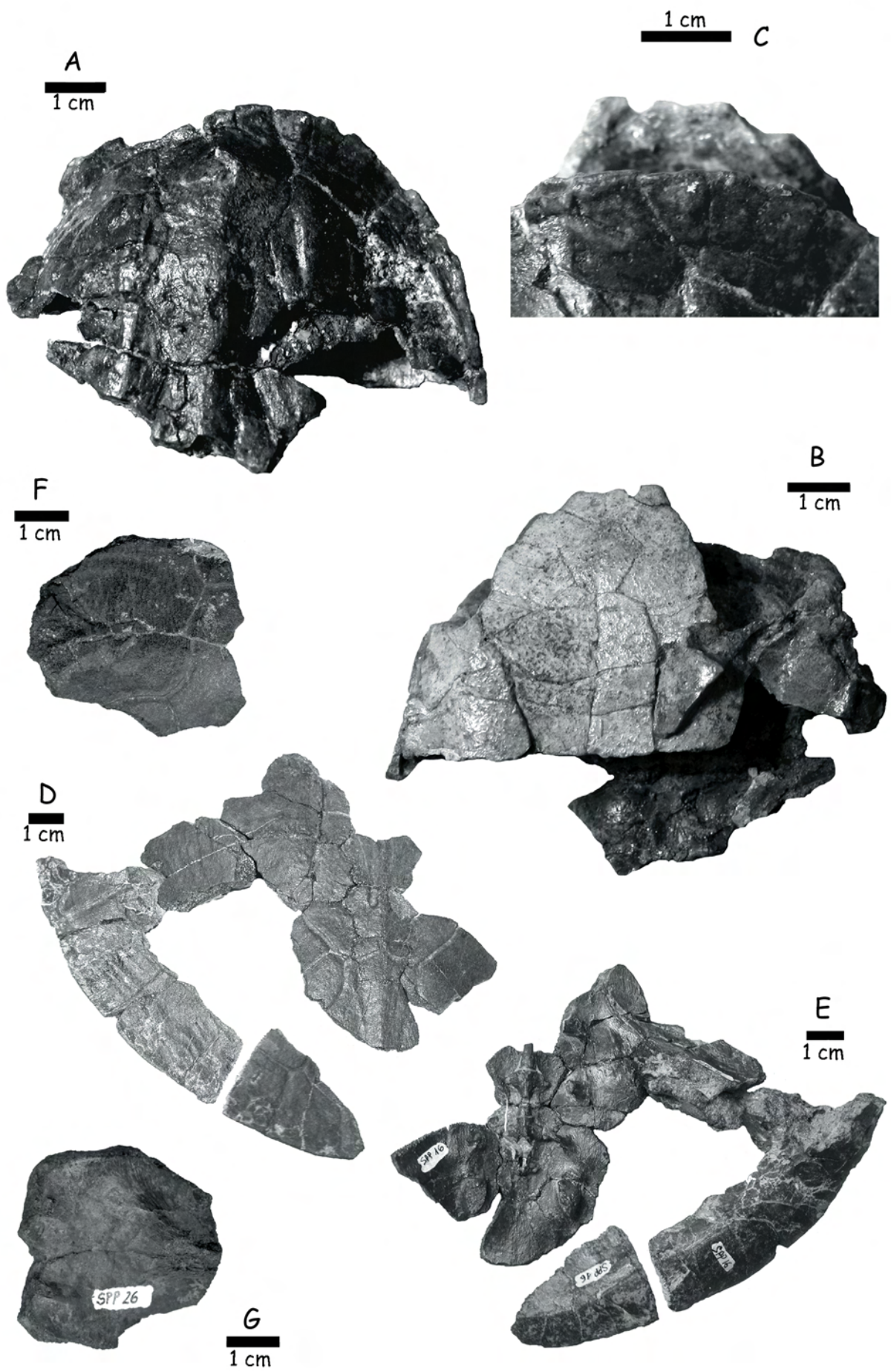


Planche 30

? *Juvenys* sp. ; Messel (Allemagne) ; Lutétien.

Fig. A : HLD-Me-7448, dossière, face dorsale.

Fig. B et C : BMNH R10869, moulage de la dossière, face dorsale.

***Juvenys labarrerei* n. g. n. sp. ; MNHN EBA 192 ; Pépieux-Cesseras (France) ; Lutétien.**

Fig. D : carapace, face ventrale.

Fig. E : carapace, face dorsale.

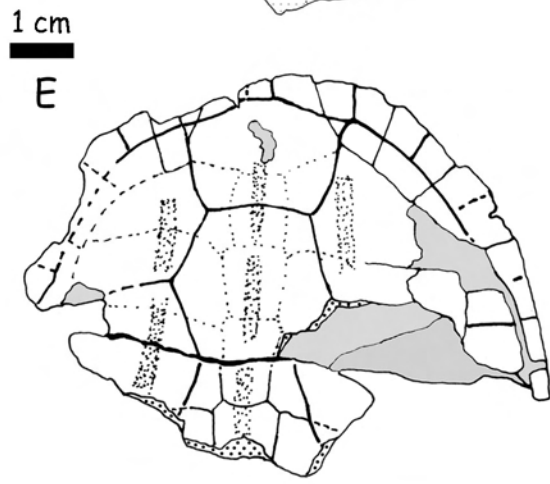
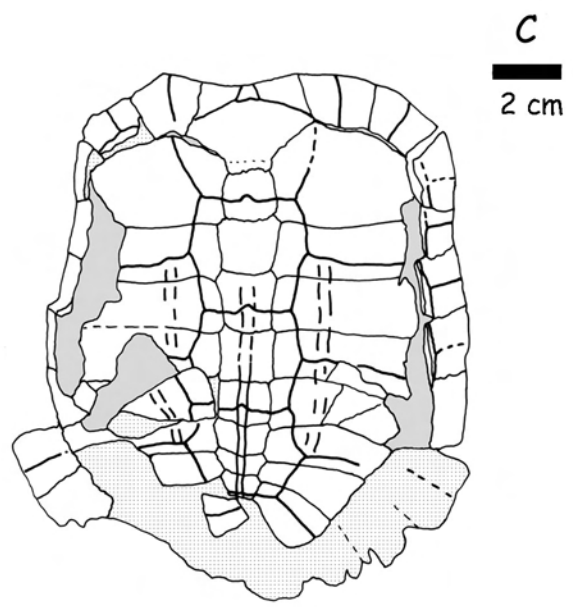
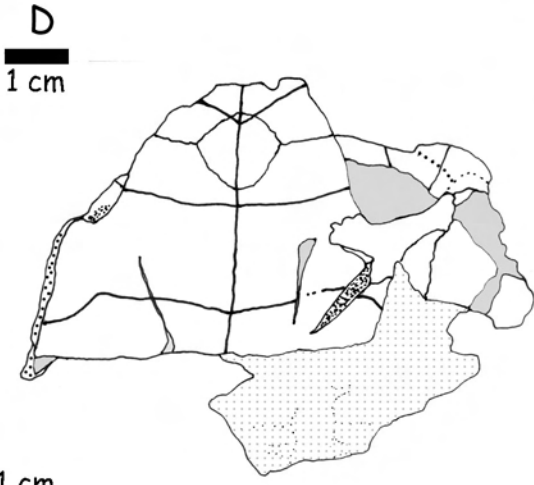
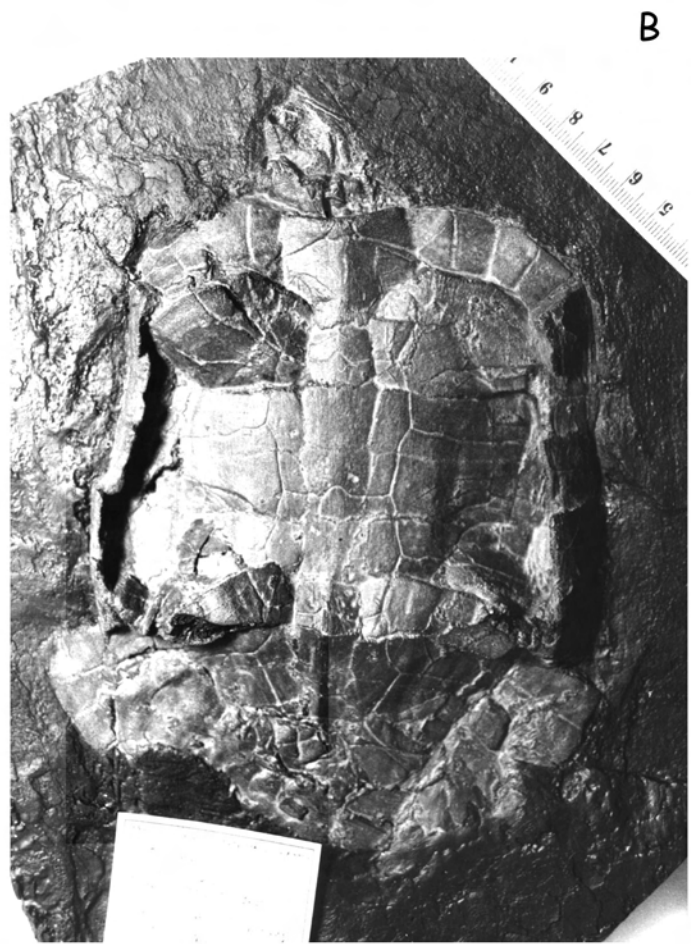


Planche 31

***Juvenys labarrerei* n. g. n. sp. ; Paratype, MNHN SPP 3 ; Saint-Papoul (Aude, France) ; Cuisien.**

Fig. A : Per10 et 11 gauche, face dorsale.

Fig. B : Per10 et 11, face ventrale.

? *Juvenys* sp. ; Saint-Papoul (Aude, France) ; Cuisien.

Fig. C : MNHN SPP 4, xiphiplastron gauche, face dorsale.

Fig. D : MNHN SPP 4, xiphiplastron gauche, face ventrale.

Fig. E : MNHN SPP 1, hyoplastron droit, face ventrale.

Fig. F : MNHN SPP 1, hyoplastron droit, face dorsale.

Fig. G : MNHN SPP 21, hyoplastron droit, face ventrale.

Fig. H : MNHN SPP 22, xiphiplastron gauche, face ventrale.

Fig. E : MNHN SPP 24, hyoplastron droit, face ventrale.

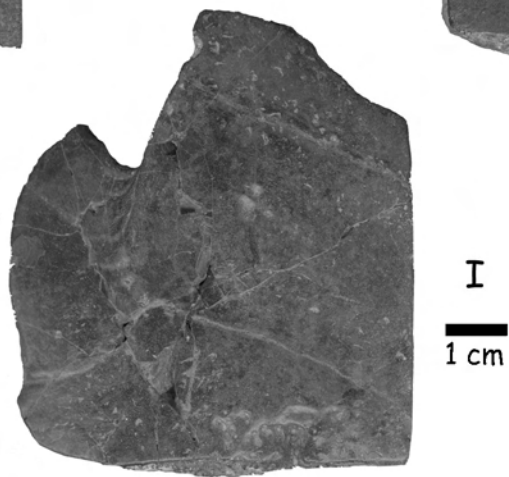
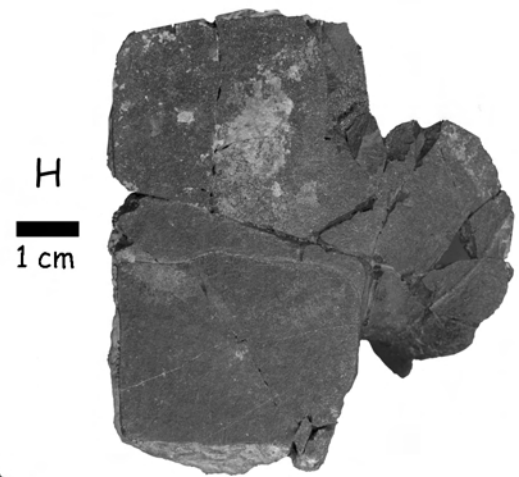
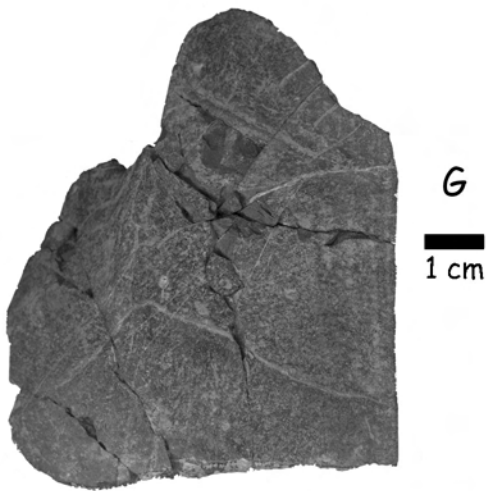
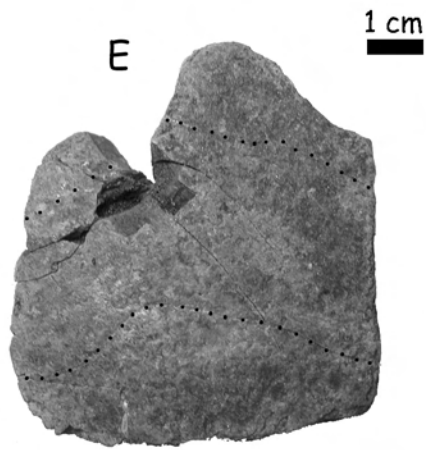
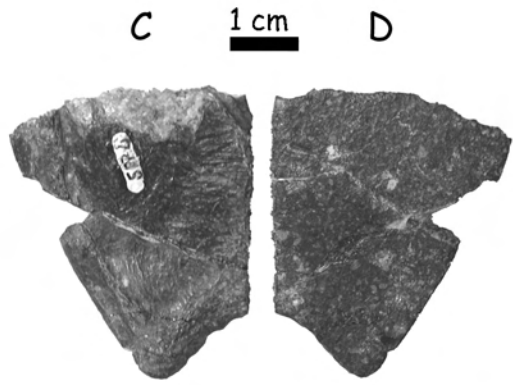
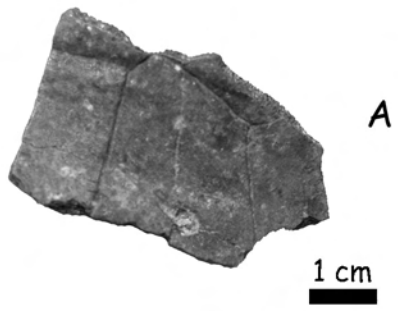


Planche 32

Owenemys testudiniformis (Owen, 1842) ; Warden Point (Sheppey, Grande-Bretagne);
Eocène inférieur.

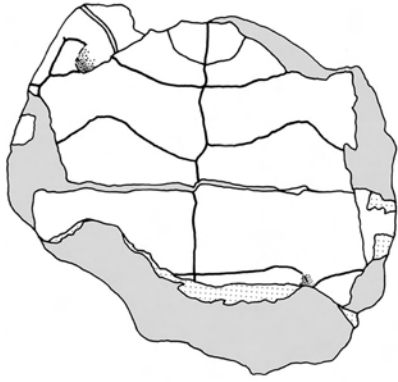
Fig. A et B : Holotype BMNH 39767 ; carapace, face ventrale.

Fig. C et D : Holotype BMNH 39767 ; carapace, face dorsale.

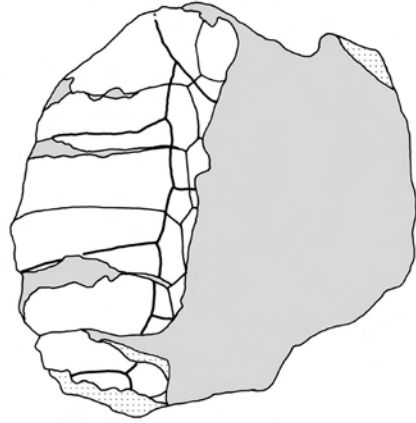
Fig. E : BMNH 39450, carapace, face dorsale.

Fig. F : BMNH 39450, carapace, face ventrale.

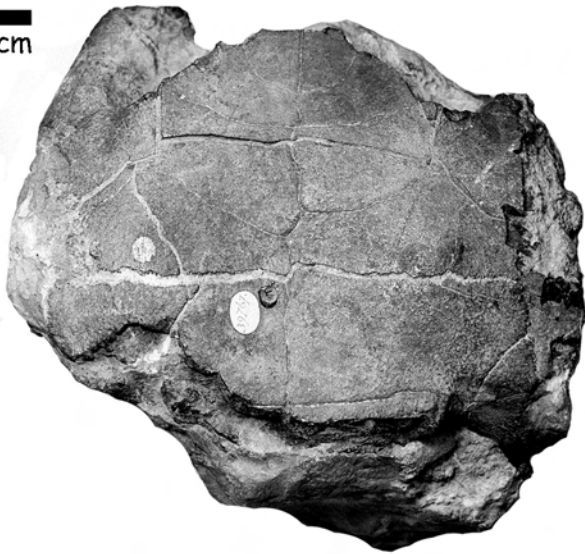
A
2 cm



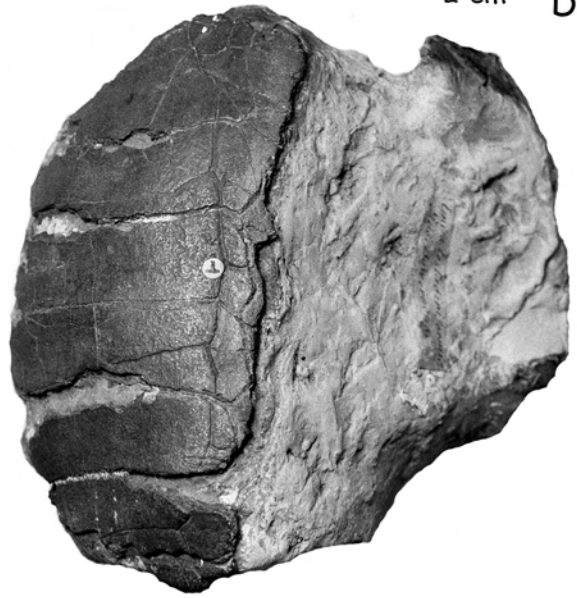
C
2 cm



B
2 cm



D
2 cm



E
2 cm



F
2 cm

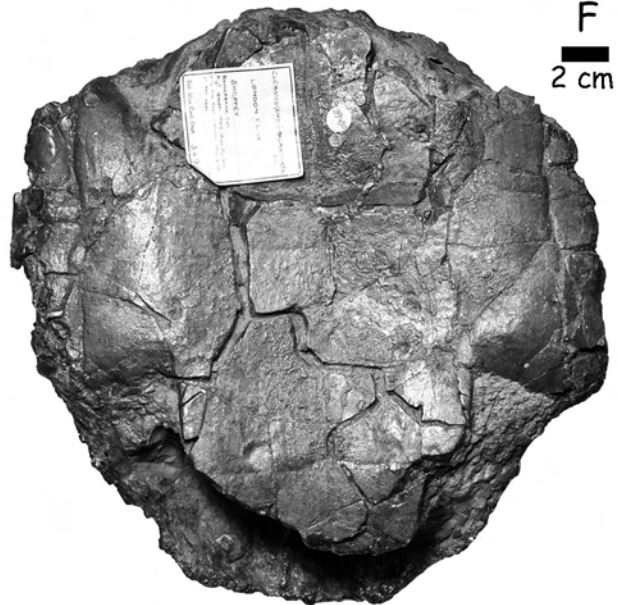


Planche 33

***Owenemys testudiniformis* (Owen, 1842) ; Harwich (Essex, Grande-Bretagne); Eocène inférieur.**

Fig. A et B : BMNH R4102, carapace, face dorsale.

Fig. C et D : BMNH R4102, carapace, face ventrale.

Fig. E : reconstitution proposée de la dossière, face dorsale.

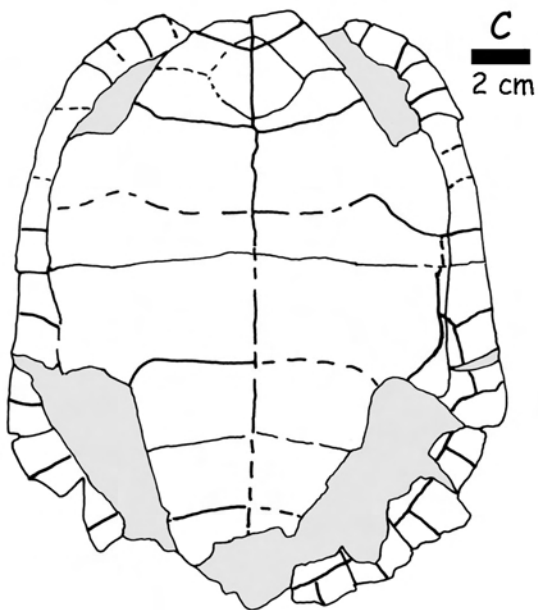
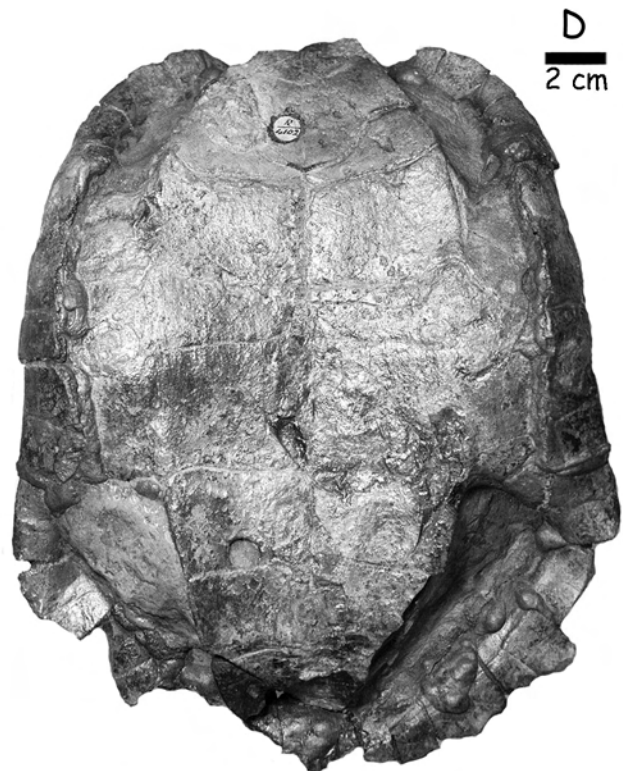
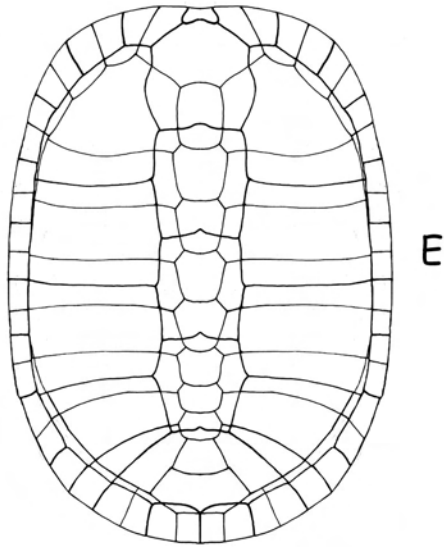
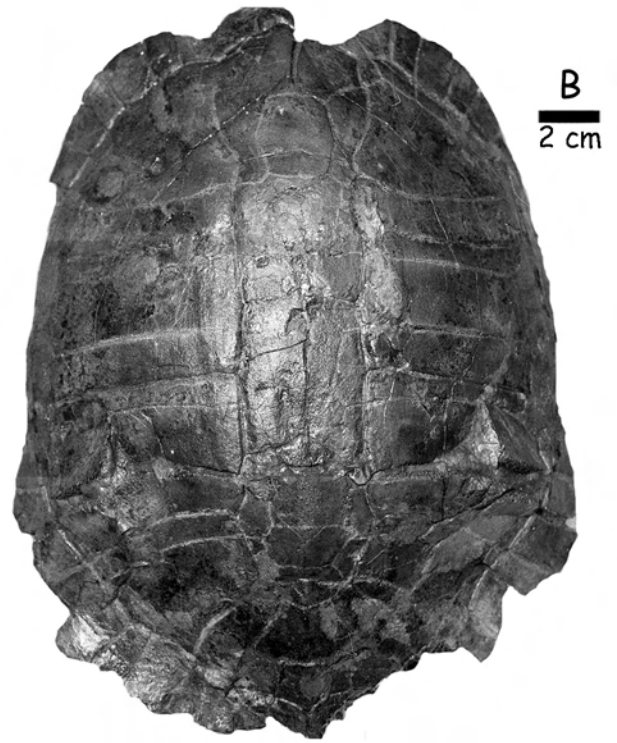
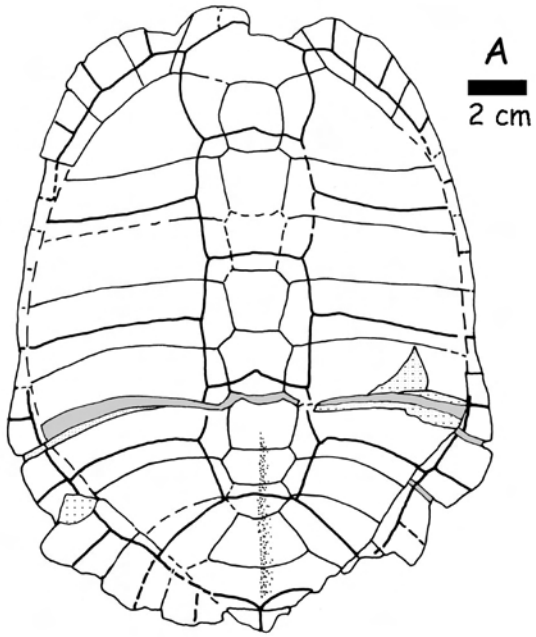


Planche 34

***Owenemys corroyi* (Bergounioux, 1933) ; Palette (Bouches-du-Rhône, France) ; Yprésien.**

Fig. A : MNHN PLT 1, carapace, face dorsale.

Fig. B : MNHN PLT 1, carapace, face ventrale.

Fig. C : Holotype, UP-AM1, carapace, face ventrale.

***Owenemys* sp. ; Région d'Épernay (Marne, France), Yprésien.**

Fig. D : MNHN SUT 15309, épiplestron gauche, face dorsale.

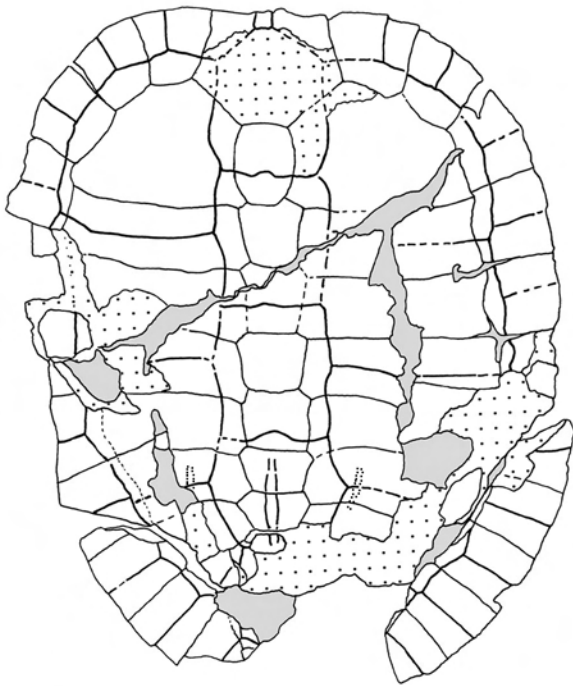
Fig. E : MNHN SUT 15309, épiplestron gauche, face ventrale.

Fig. F : MNHN AL 9126, entoplastron, face ventrale.

***Owenemys* sp. ; Prémontré (Aisne, France), Yprésien.**

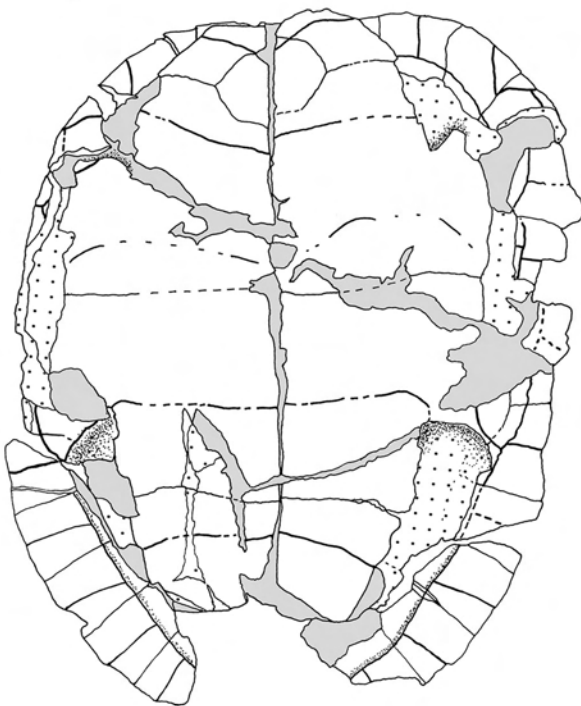
Fig. G : MNHN PMT 110, épiplestron droit, face ventrale.

Fig. H : MNHN PMT 110, épiplestron droit, face dorsale.

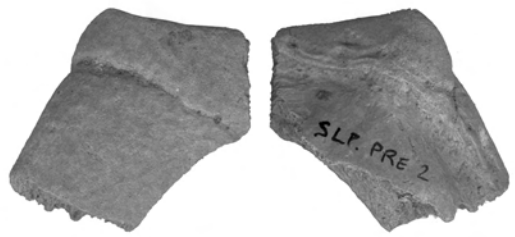
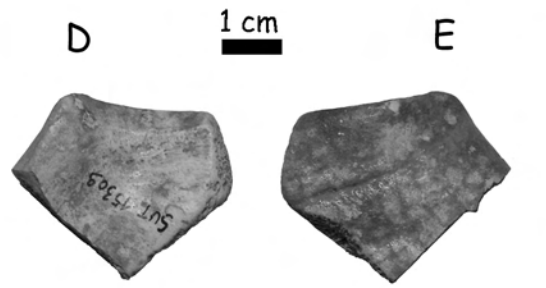
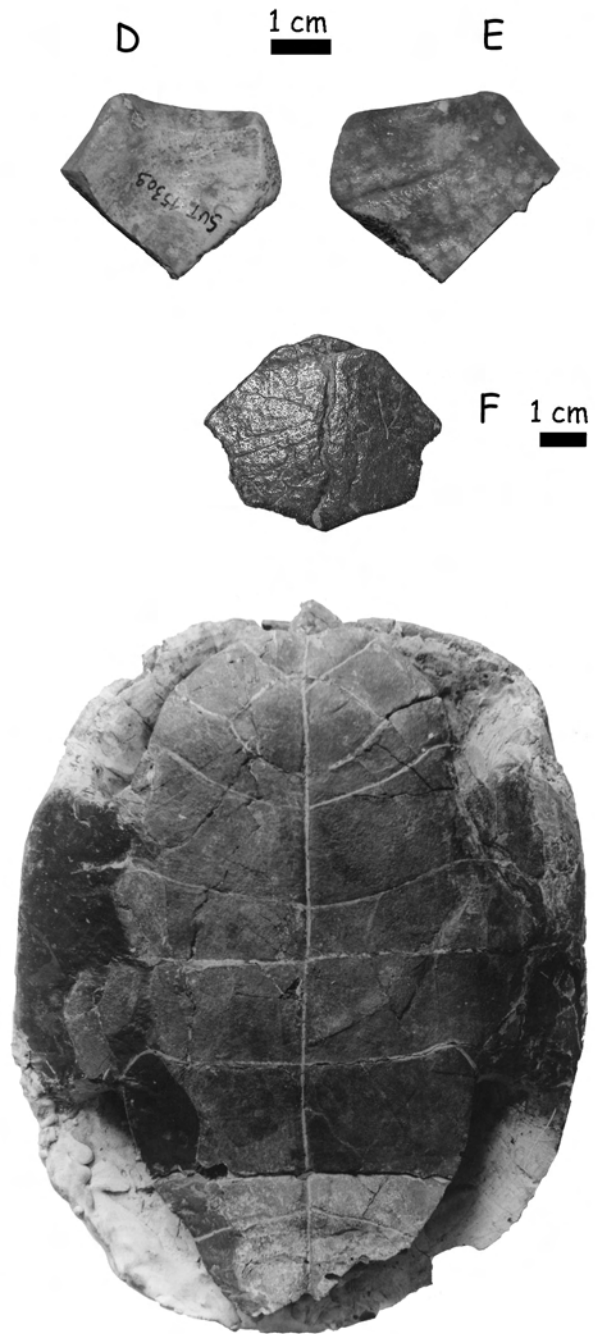


A
2 cm

B
2 cm



C
1 cm



G
1 cm
H

Planche 35

***Owenemys corroyi* (Bergounioux, 1933) ; Palette (Bouches-du-Rhône, France) ; Yprésien.**

Fig. A : MNHN PLT 1, carapace, face dorsale.

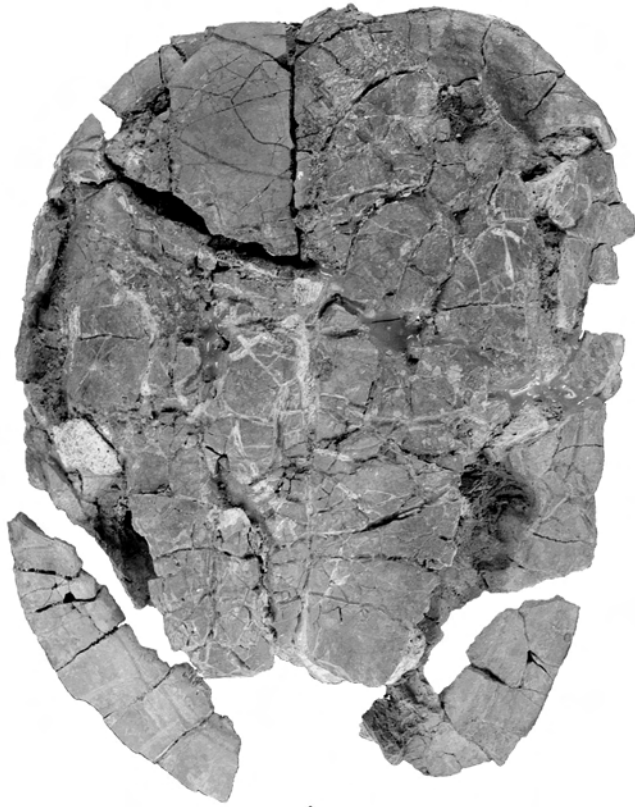
Fig. B : MNHN PLT 1, carapace, face ventrale.

Fig. C : MNHN PLT 3, fragment de PL1 gauche, face dorsale.

Fig. D : MNHN PLT 3, fragment de PL1 gauche, face ventrale.

Fig. E : MNHN PLT 1, épiplestron droit et fragment de l'entoplestron et de l'hyoplestron droit, face ventrale.

Fig. F : MNHN PLT 1, épiplestron droit et fragment de l'entoplestron et de l'hyoplestron droit, face dorsale.



A
2 cm



B
2 cm



C
1 cm



D
1 cm



E



F

1 cm



G

Planche 36

***Euroemys kehleri* (Staesche, 1928) ; Messel (Allemagne) ; Lutétien.**

Fig. A et C : Holotype, SMF-Me-R109, fragment de plastron, face dorsale.

Fig. B et D : Holotype, SMF-Me-R109, fragment de plastron, face ventrale.

Fig. E : IRSNB-289, dossière, face dorsale.

Fig. F : SMF-Me-1807, dossière, face dorsale.

Fig. G : IRSNB-1-535, dossière, face dorsale.

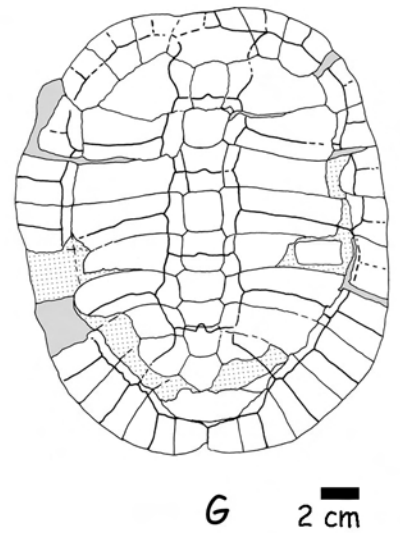
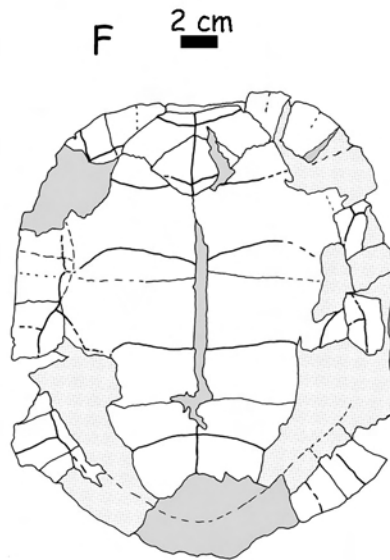
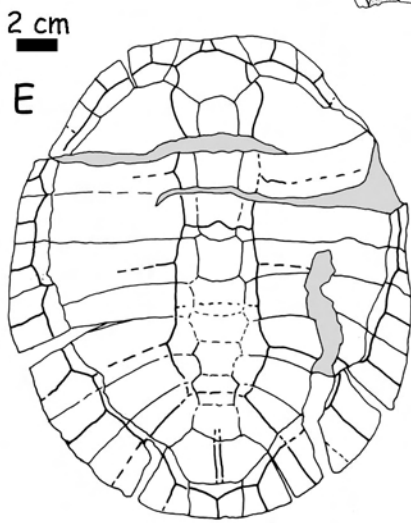
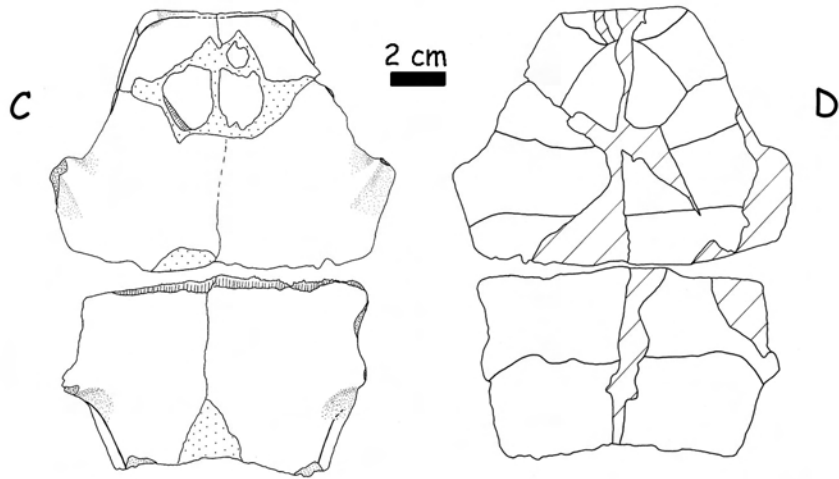
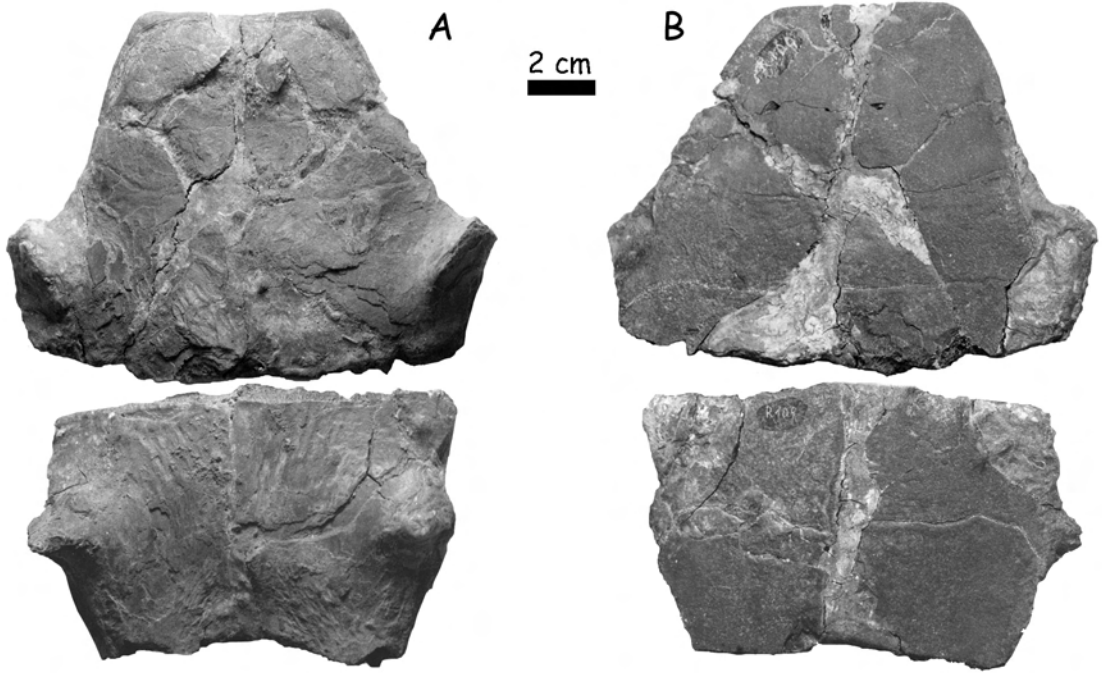


Planche 37

***Euroemys kehleri* (Staesche, 1928) ; Messel (Allemagne) ; Lutétien.**

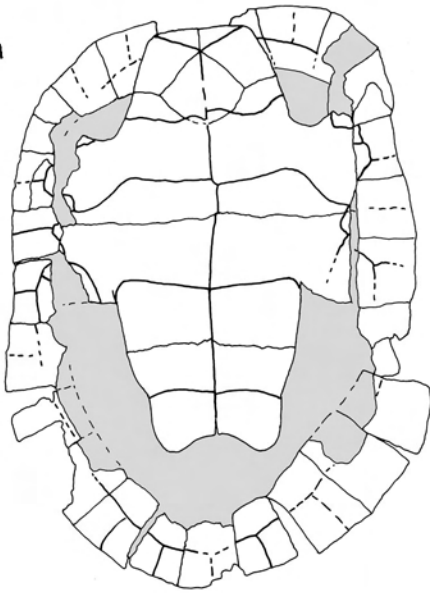
Fig. A et B : SMF-Me-1340, carapace, face ventrale.

Fig. C et D : SMF-Me-1340, carapace, face dorsale.

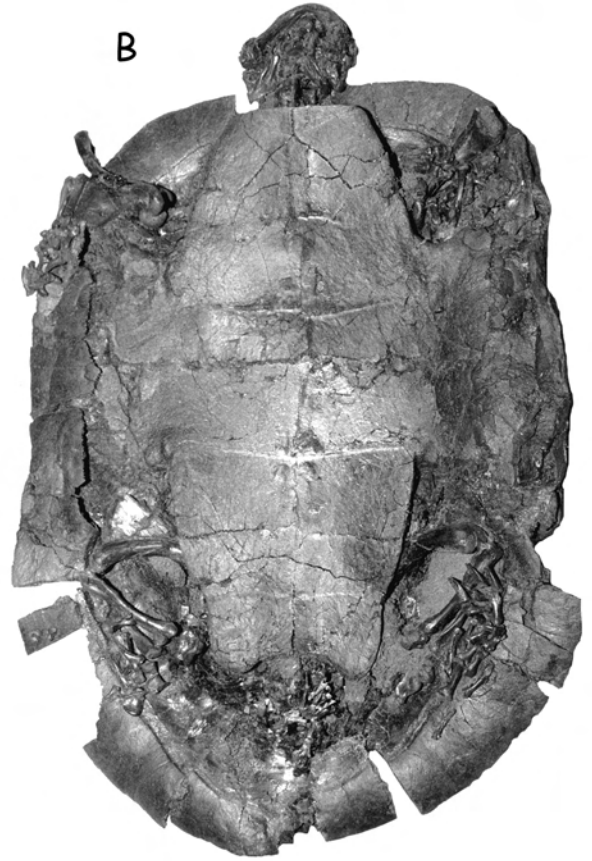
Fig. E : HLD-Me-14749, carapace, face ventrale.

2 cm

A

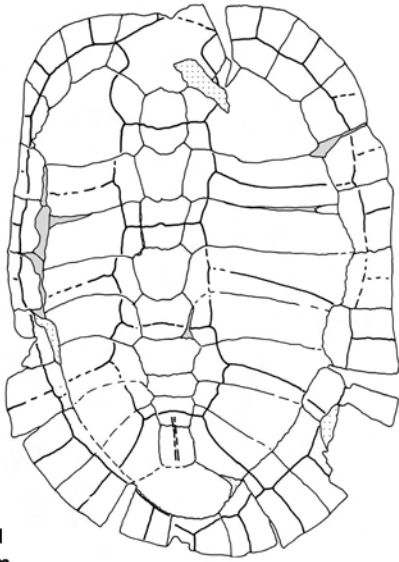


B



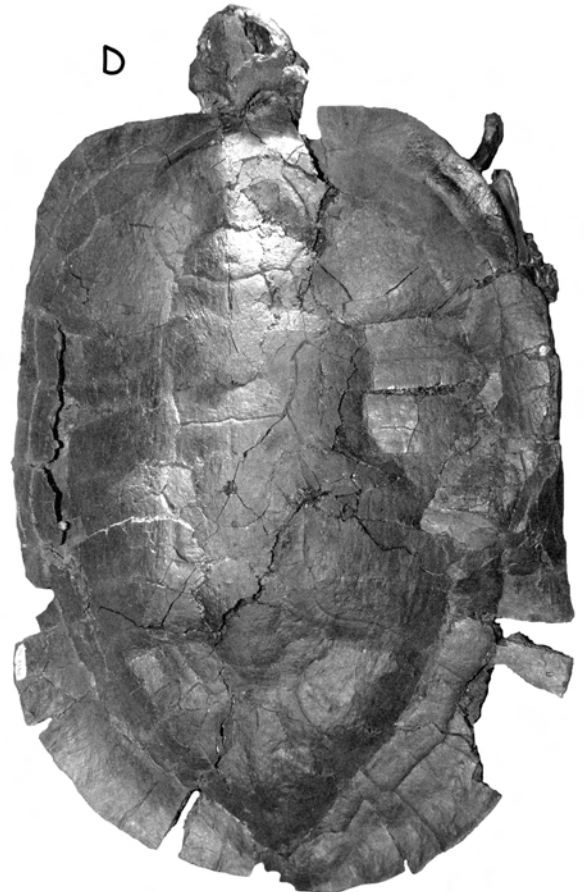
2 cm

C



2 cm

D



E

1 cm

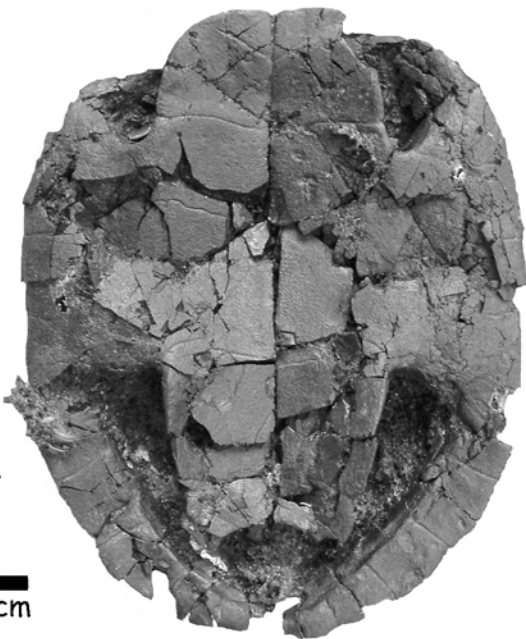


Planche 38

***Euroemys kehreri* (Staesche, 1928) ; Messel (Allemagne) ; Lutétien.**

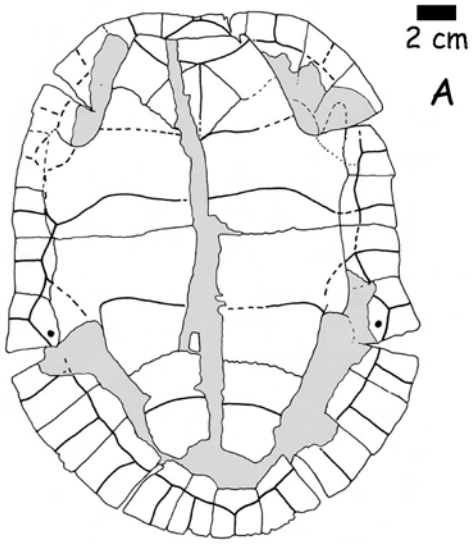
Fig. A et B : SMF-Me-1782, carapace, face ventrale.

Fig. C et D : SMF-Me-1782, carapace, face dorsale.

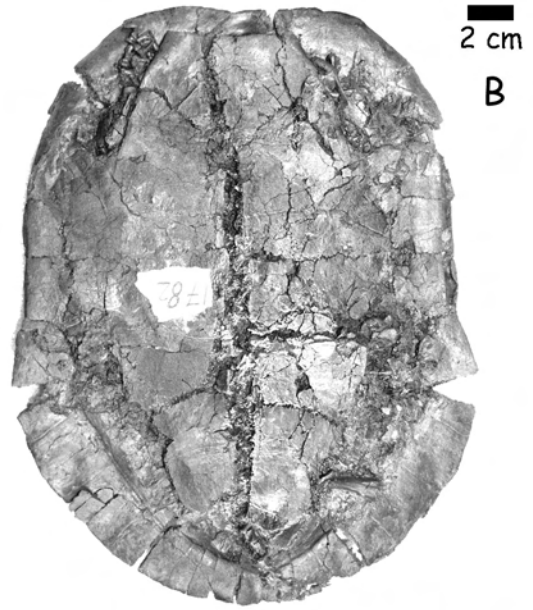
Fig. E : HLD-Be-139, dossière, face dorsale.

Fig. F : HLD-Be-148, dossière, face dorsale.

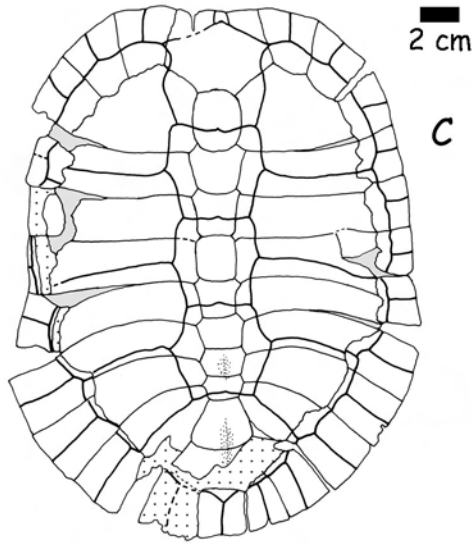
p.musc = pore à musc



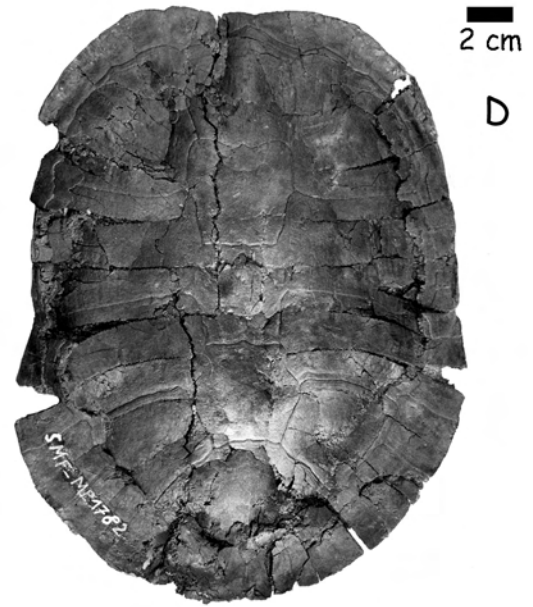
2 cm
A



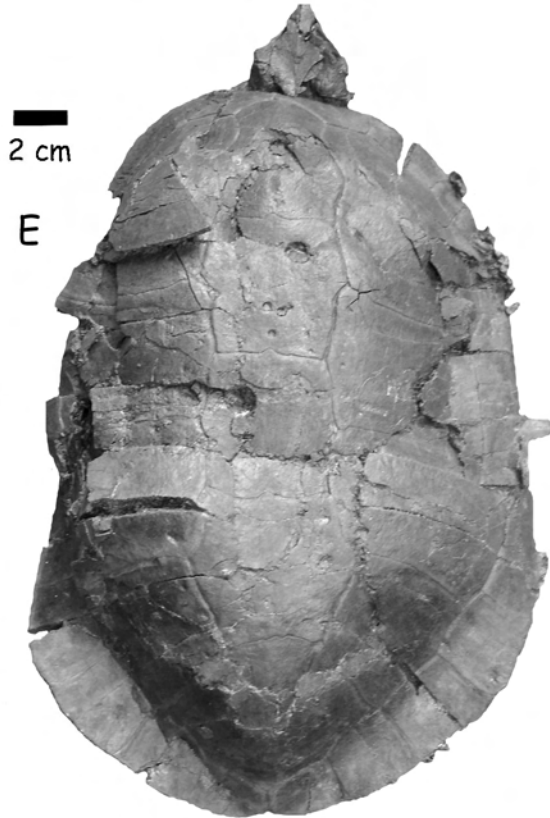
2 cm
B



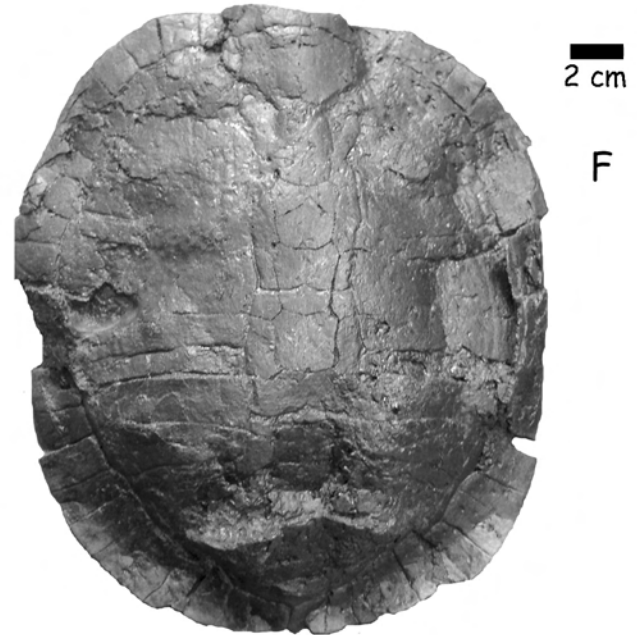
2 cm
C



2 cm
D



2 cm
E



2 cm
F

Planche 39

***Euroemys kehleri* (Staesche, 1928) ; Messel (Allemagne) ; Lutétien.**

Fig. A : SMF-Me-1564, carapace, face dorsale.

Fig. B : SMF-Me-1564, carapace, face ventrale.

Fig. C : SMF-Me-1564, détail du bourrelet gulaire, face dorsale.

Fig. D : HLD-Me-8051, dossière, face dorsale.

Fig. E : HLD-Me-8877, carapace, face ventrale.

Fig. F : HLD-Be-142, dossière, face dorsale.

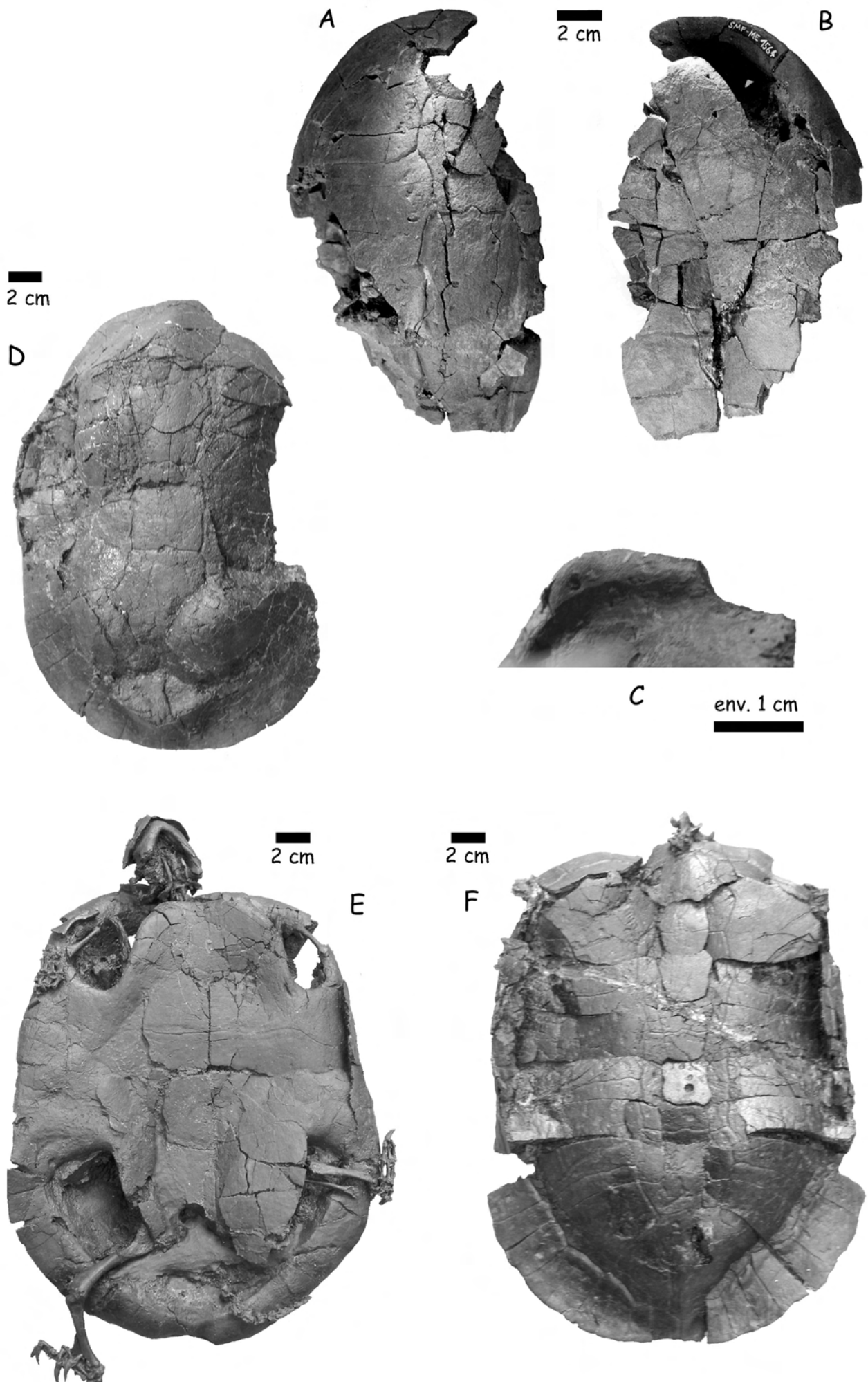


Planche 40

***Euroemys kehleri* (Staesche, 1928) ; Messel (Allemagne) ; Lutétien.**

Fig. A et B : LNK sans numéro, dossière, face dorsale.

Fig. C : IRSNB-117, dossière, face dorsale.

***Euroemys vidalenci* n. g. n. sp. ; Holotype MNHN EBA 510 ; Trotte-Cos (Aude, France), Lutétien.**

Fig. D : carapace, face dorsale.

Fig. E : reconstruction de l'avant de la dossière, face dorsale.

Fig. F : reconstruction du plastron, face ventrale.

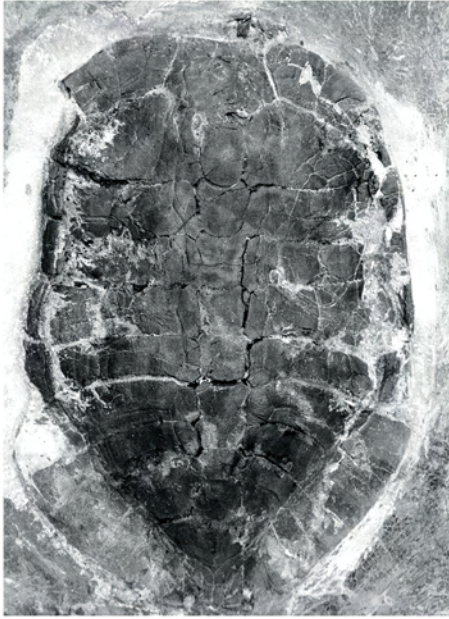
? *Euroemys* sp. ; Eocène inférieur du Bassin Parisien (Sables à Unios et Térédines).

Fig. G : MNHN GR 9287, hyoplastron gauche, face ventrale ; Grauves (Marne).

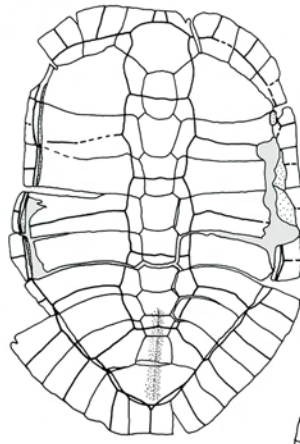
Fig. H : MNHN CUI 17330, hyoplastron gauche, face ventrale ; Cuis (Marne).

Fig. I : MNHN MT 17666, hyoplastron gauche, face ventrale ; Monthelon (Marne).

Fig. J : MNHN MT 17367, entoplastron, face ventrale ; Monthelon (Marne).

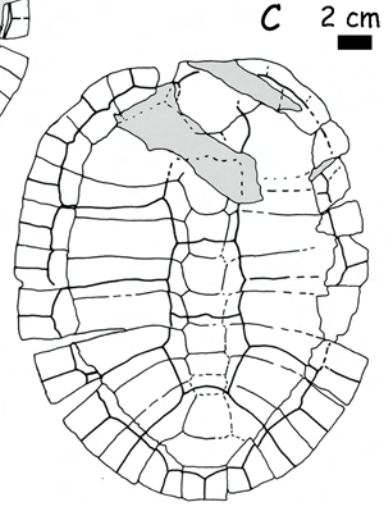


2 cm A

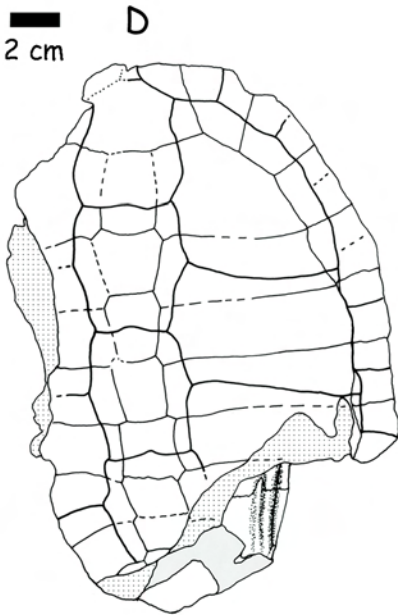


2 cm B

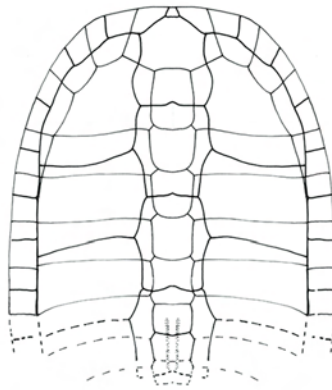
B



2 cm C

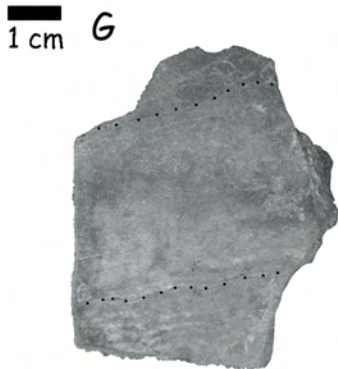
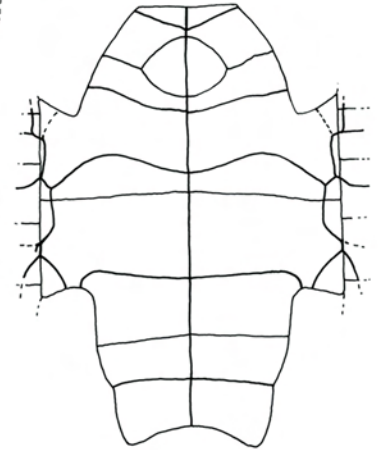


2 cm D

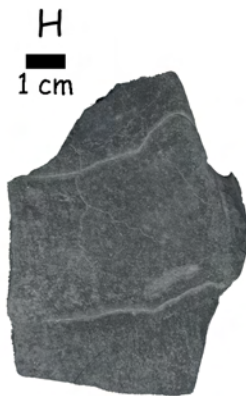


E

F



1 cm G



1 cm H



1 cm I



1 cm J